

Neutrons Ultra Froids (UCN)

- Propriétés des UCN
 - Découverte
 - Propriétés
 - Production
- Expériences avec des UCN
 - nEDM
 - Durée de vie du neutron
 - Etats quantiques du neutron dans le champ de pesanteur
 - « Galerie du chuchotement »

Découverte expérimentale

Ya.B. Zeldovich,
JETP **36** (1959) 1952 :

« Les neutrons avec des vitesses inférieures à 10 m/s peuvent être confinés dans un volume ».

V.I. Luschikov, Yu.N. Pokotilovsky,
A.V. Strelkov, F.L. Shapiro,
JETP Lett **9** (1969) 40
« Observation of ultracold neutrons »

OBSERVATION OF ULTRACOLD NEUTRONS

V. I. Lushchikov, Yu. N. Pokotilovskii, A. V. Stralekov, and F. L. Shapiro

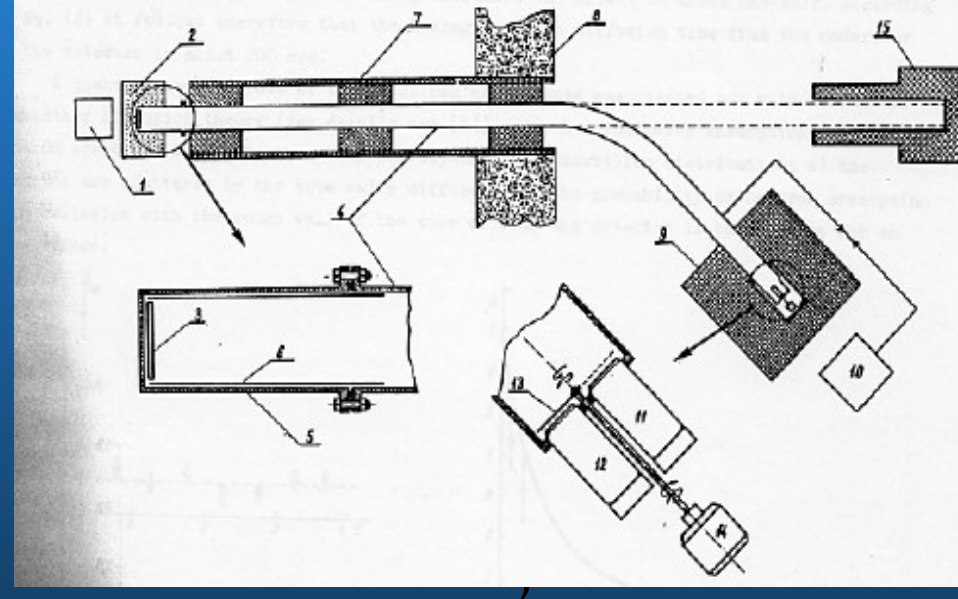
Joint Institute for Nuclear Research

Submitted 18 November 1968

SEARCHED TO NOVEMBER 1968
THEFT Blg. Bed. 9, No. 1, 40-45 (5 January 1969)

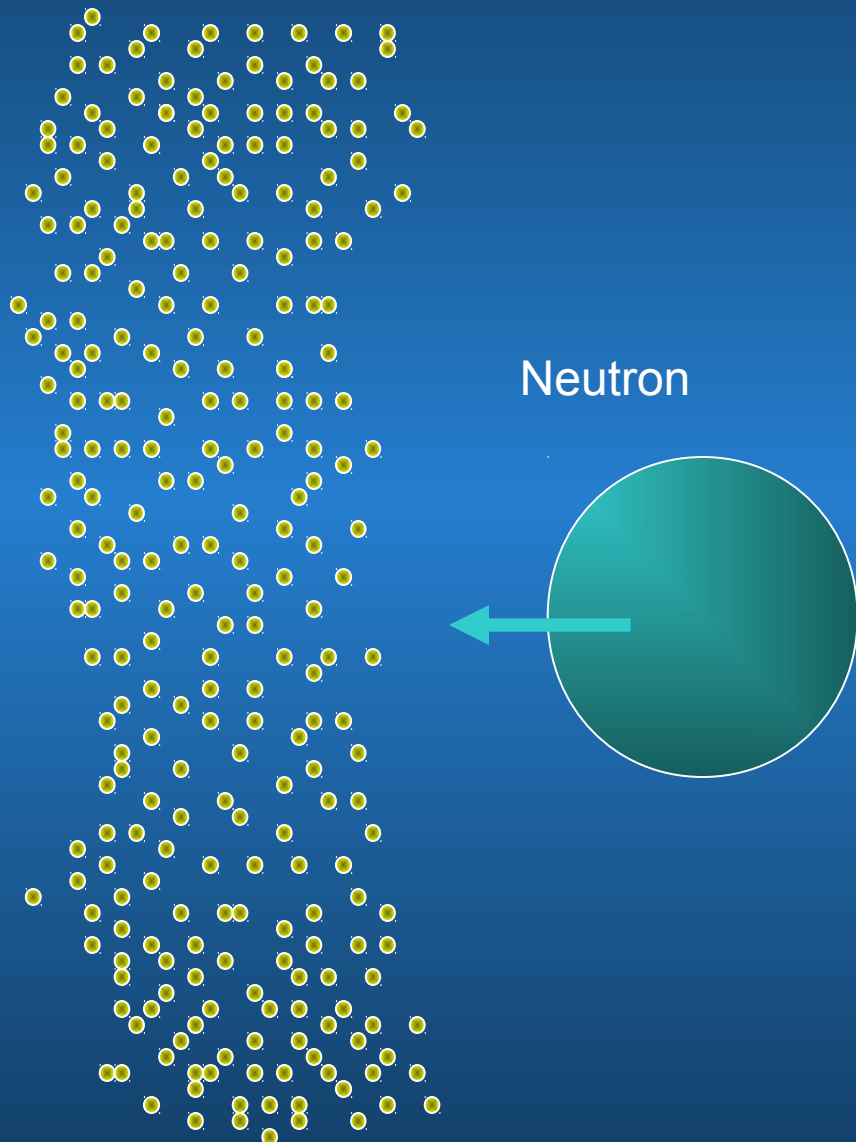
Ya. B. Zel'dovich showed in 1959 [1] that neutrons with velocities up to 10 m/sec, which experience total reflection from the walls at all incidence angles, can be stored in a closed cavity. As was noted recently [2], the idea of storing neutrons points to a way of increasing the accuracy of measurement of the neutron dipole moment, an important factor in the problem of CP-violation. We have therefore undertaken to check experimentally the feasibility of extracting and retaining ultracold neutrons.

The experimental setup is shown in Fig. 1. The neutron source was the IBR pulsed reactor [3] operating at an average power of 6 kW at a flash repetition frequency of one every 5 sec. The flux of thermal neutrons in the polyethylene moderator 3 was 1.6×10^{10} neut/cm 2 -sec. This moderator was placed in a standard copper tube of 9.4 cm i.d. and 10.5 m length, the inside surface of which was bright-dipped; a vacuum of 5×10^{-3} mm Hg was maintained in the tube. The neutron detectors 11 and 12 were FEU-13 photomultipliers covered with a scin-



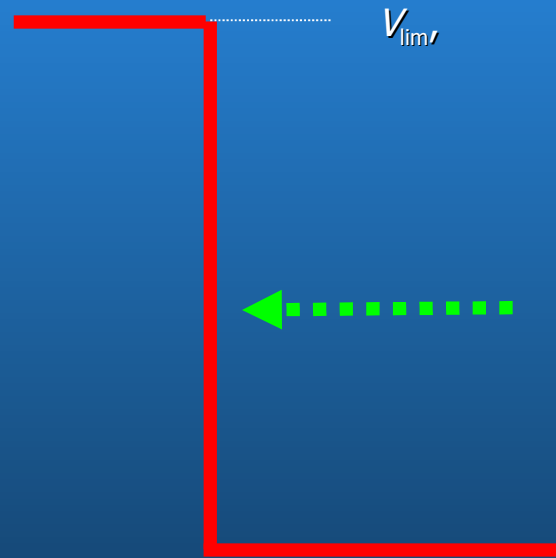
Potentiel de Fermi

Matière



Potentiel (de Fermi)
vu par neutron

$$U = \frac{2\pi\hbar^2}{m} N b_{coh}$$



Propriétés

Interaction avec matière

- ~ 99.99 % – réflexion élastique
- ~ 10^{-4} – diffusion inélastique sur des phonons thermiques
- ~ 10^{-5} – absorption

$$V_{UCN} \sim (1 \text{ à } 10) \text{ m/s}$$

$$E_{UCN} \sim 1 \text{ neV}$$

$$H_{UCN}^{\text{field}} \sim 1 \text{ m}$$

$$T \sim 1 \text{ mK}$$

d'où le nom
UCN

Matériel	b_{coh} , fm	Densité, g/cm ³	V_{lim} , m/s
D ₂ (liquide)	13	0,15	3,82
D ₂ O	18,8	1,1	5,57
C (graphite)	6,65	2,25	6,11
C (diamant)	6,65	3,52	7,65

Deux problèmes majeurs

- Faible flux/densité

$$\eta = \frac{\int_0^{v_{\text{lim}}} n(v) dv}{\int_0^{\infty} n(v) dv} = \frac{1}{8} \frac{m v_{\text{lim}}^2}{k T} \lambda 10^{-11}$$

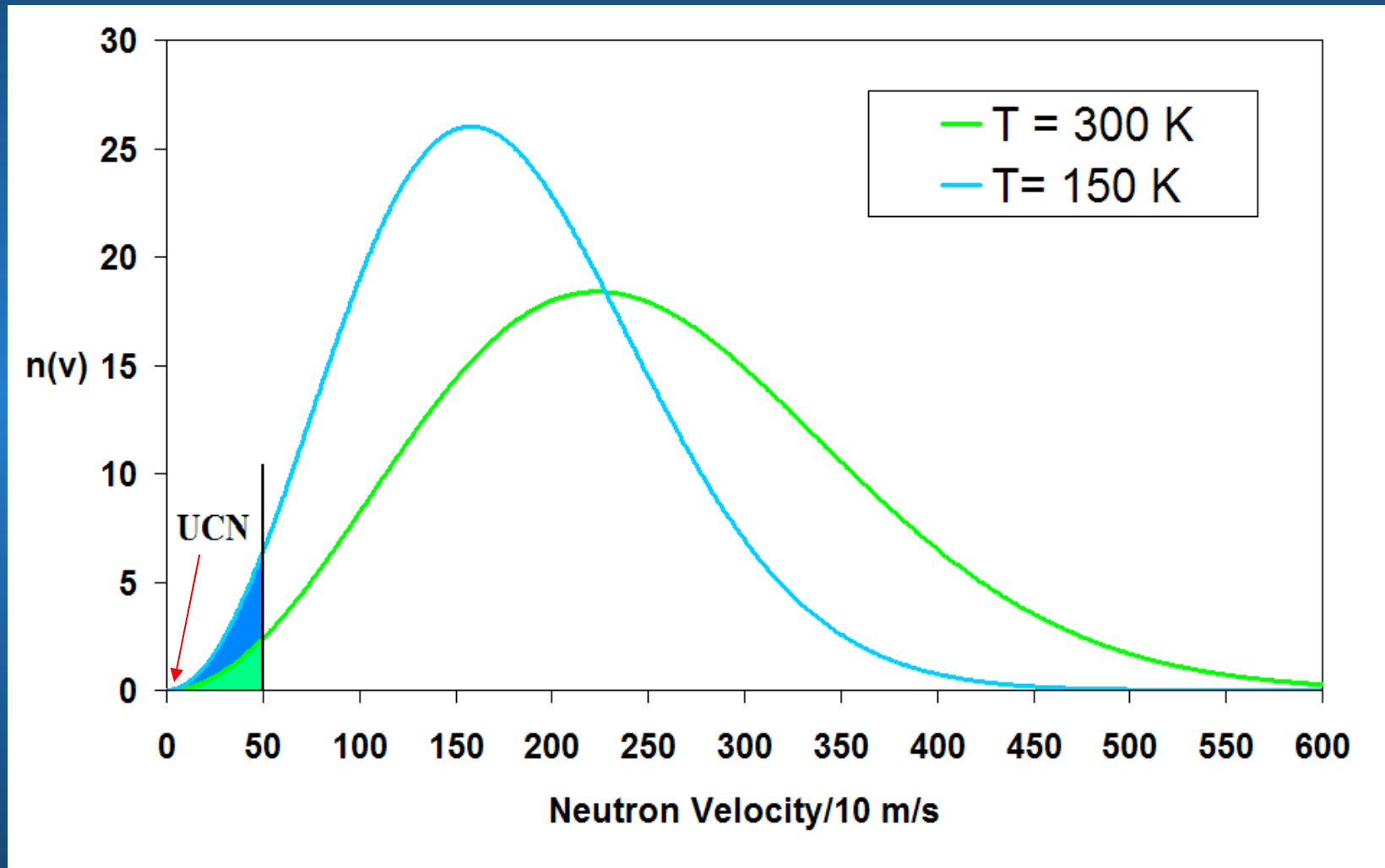
pour un spectre maxwellien et $T = 300$ K, $v_{\text{lim}}(\text{Cu}) = 5,67$ m/s

- (Pertes anomales)

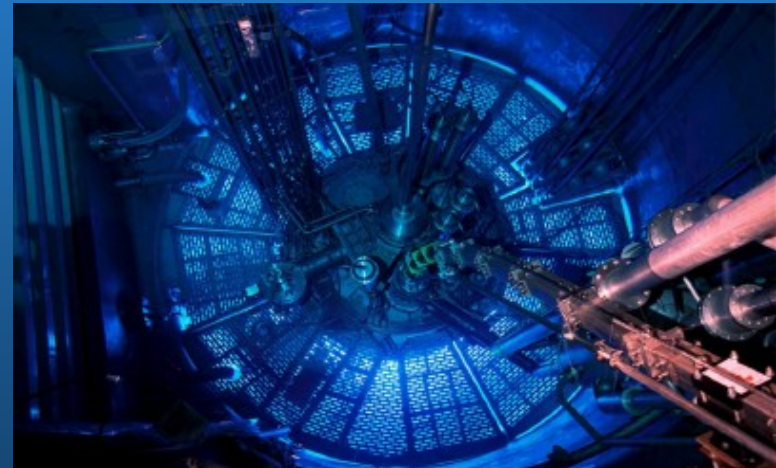
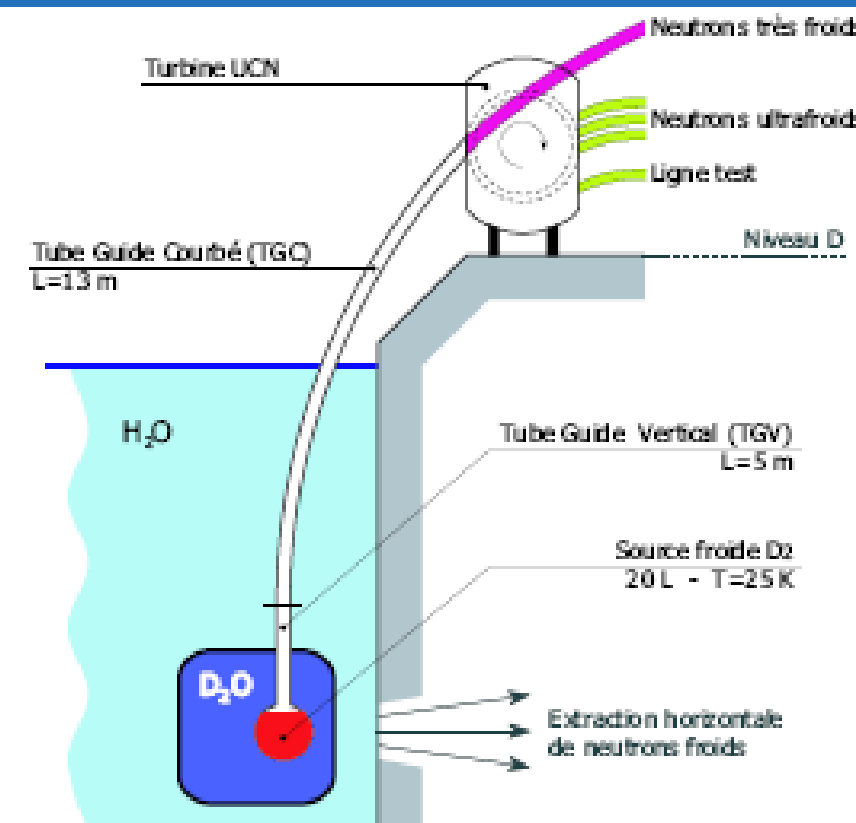
Comment peut-on augmenter le flux ?

- Utiliser un modérateur froid
- Profiter du champ gravitationnel terrestre
- Les ralentir « mécaniquement »
- Utiliser He superfluide
- Nanoparticules comme modérateur

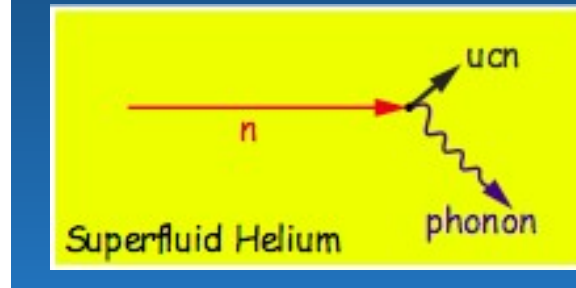
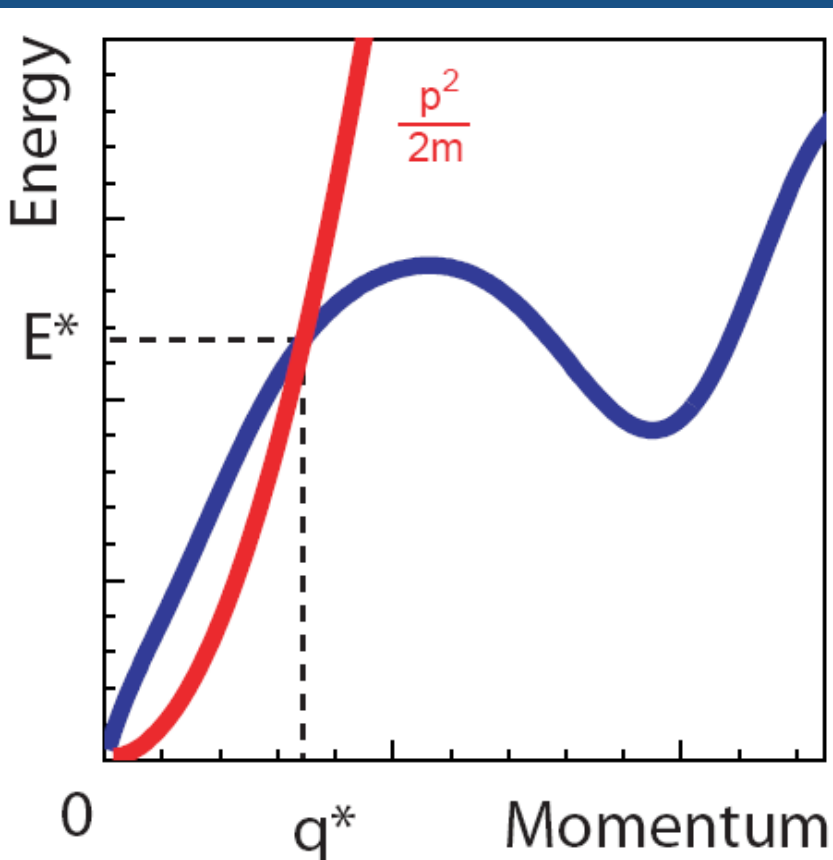
L'importance du refroidissement des neutrons



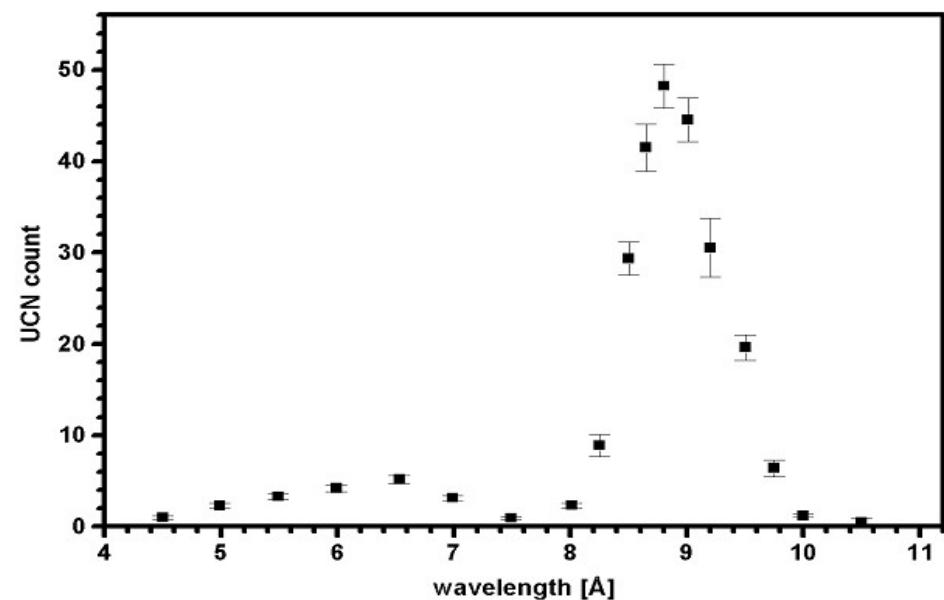
UCN à l'ILL



Production des UCN dans ^4He superfluide (Bob Golub & Mike Pundlebury)



Problème :
Expériences in situ



Physique avec des UCN

- « Propriétés » du neutrons
 - désintégration (durée de vie, asymétries, désintégration radiative...)
 - nEDM
- Neutrons comme outil
 - états quantiques dans le champ de pesanteur
 - états « centrifuges »

Durée de vie du neutron

• Modèle Standard

$$|V_{ud}|^2 = \frac{(4908 \pm 4)s}{\tau(1+3\lambda^2)}$$

$$\lambda = \frac{g_A}{g_V}$$



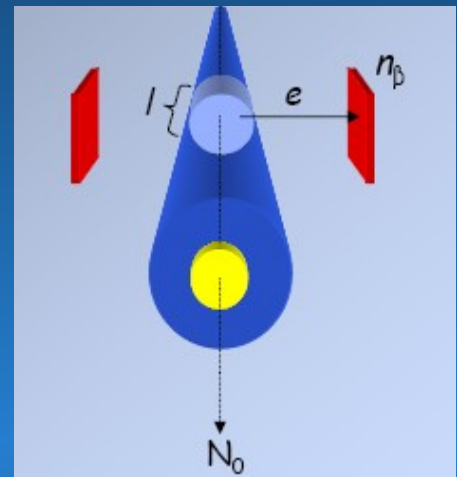
• Astrophysique

- cycle solaire
- formation des étoiles à neutrons
- nucléosynthèse primordiale
- ...

• Expériences in-flight (CN) :

- Mesurer la radioactivité du faisceau des neutrons :

$$n_{\beta} = \frac{dN}{dt} = -\frac{N_0}{\tau_n} e^{-\frac{t}{v \cdot \tau_n}}$$



- Deux mesures absolus

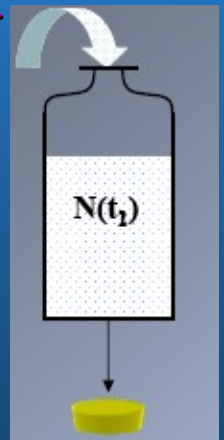
• Expériences de stockage (UCN) :

- Mesurer la diminution du nombre de neutrons directement :

$$\frac{1}{\tau_m} = \frac{1}{t_2 - t_1} \cdot \ln \frac{N(t_1)}{N(t_2)}$$

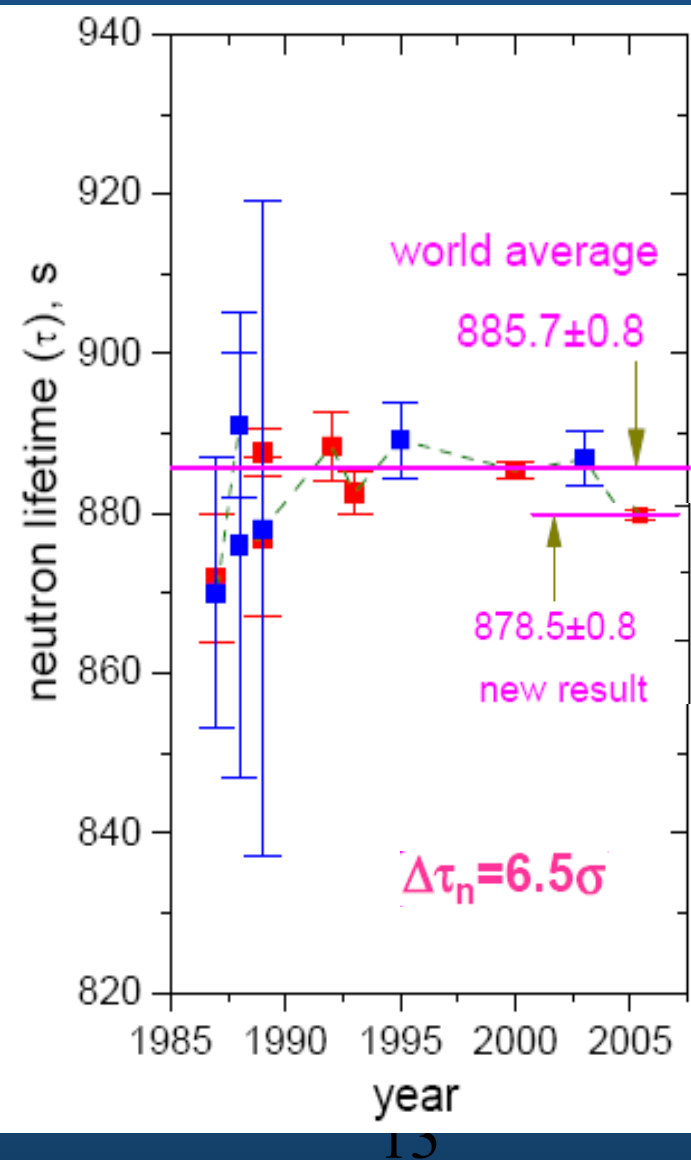
- Deux mesures relatives, mais :

$$\tau_m^{-1} = \tau_n^{-1} + \tau_{loss}^{-1}$$



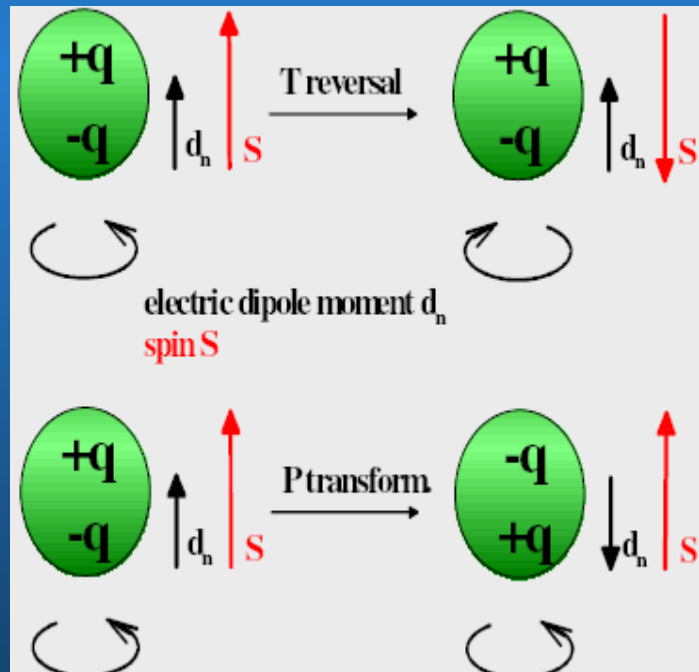
Durée de vie du neutron (situation générale)

Lifetime τ [s]	Method	Ref./Year
878.5 ± 0.8	Storage of ultra-cold neutrons	A. Serebrov et al. 2005
886.8 ± 3.42	Neutron beam experiment	M.S. Dewey et al. 2003
885.4 ± 0.95	Storage of ultra-cold neutrons	S. Arzumanov et al. 2000
889.2 ± 4.8	Neutron beam experiment	J. Byrne et al. 1995
882.6 ± 2.7	Storage of ultra-cold neutrons	W. Mampe et al. 1993
$888.4 \pm 3.1 \pm 1.1$	Storage of ultra-cold neutrons	V. Nesvizhevski et al. 1992
$878 \pm 27 \pm 14$	Neutron beam experiment	R. Kosakowski 1989
887.6 ± 3.0	Storage of ultra-cold neutrons	W. Mampe et al. 1989
877 ± 10	Storage of ultra-cold neutrons	W. Paul et al. 1989
$876 \pm 10 \pm 19$	Neutron beam experiment	J. Last et al. 1988
891 ± 9	Neutron beam experiment	P. Spivac et al. 1988
872 ± 8	Storage of ultra-cold neutrons	A. Serebrov et al. 1987
870 ± 17	Neutron beam experiment	M. Arnold et al. 1987
903 ± 13	Storage of ultra-cold neutrons	Y.Y. Kosvintsev et al. 1986
875 ± 95	Storage of ultra-cold neutrons	Y.Y. Kosvintsev et al. 1980
937 ± 18	Neutron beam experiment	J. Byrne et al. 1980
881 ± 8	Neutron beam experiment	L. Bondarenko et al. 1978
918 ± 14	Neutron beam experiment	C.J. Christensen et al. 1972
885.8 ± 0.9	world average 1998	H. Abele 2000



Moment électrique dipolaire du neutron (nEDM) – à la recherche de la violation de CP

$$d_n = e \vec{r} \cdot \vec{s}$$

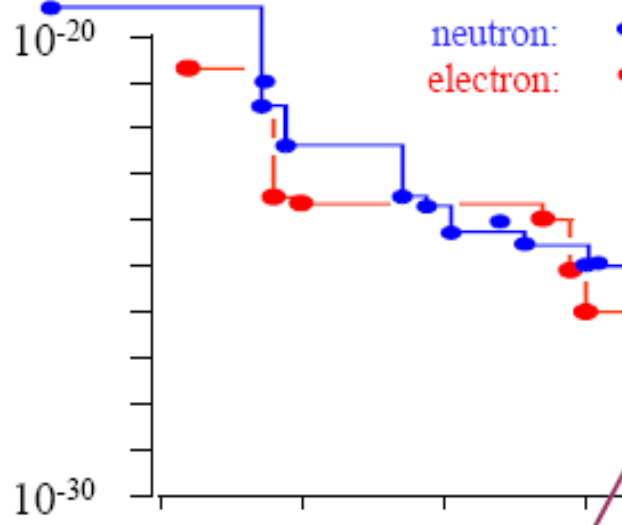


La violation de CP n'a été observée que dans les systèmes kaons et de B mesons neutres

L'existence de $nEDM \neq 0$ implique
La violation de P et de T
Théorème CPT \rightarrow violation de CP

EDM limits: the first 50 years

Experimental Limit on d_n (e·cm)

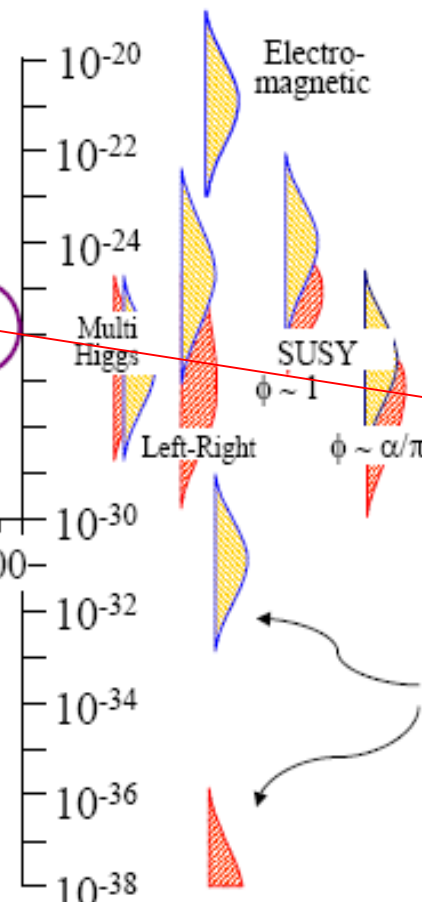


Factor ~ 10 per 8 years

Cited ~ 250 times already!

[$d_n < 6.3 \times 10^{-26}$ e·cm (90% CL); PRL 82, 904 (1999)]

"It is fair to say that the neutron EDM has ruled out more theories (put forward to explain K_0 decay) than any experiment in the history of physics" R. Golub



$|d_n| < 3.0 \times 10^{-26}$ ecm
(90% C.L.)
PRL (2006)

« Nouveaux » systèmes en mécanique quantique expérimentale

- États quantiques dans le champ de pesanteur
- États centrifuges

"Let us consider another possibility, an atom held together by gravity alone. For example, we might have two neutrons in a bound state. When we calculate the Bohr radius of such an atom, we find that it would be 10^8 light years, and that the atomic binding energy would be 10^{-70} Rydbergs. There is then little hope of ever observing gravitational effects on systems which are simple enough to be calculable in quantum mechanics."

Brian Hatfield, in "Feynman Lectures on Gravitation" ;
R.P. Feynman, F.B. Morinigo, W.G. Wagner, Ed. Brian Hatfield

Addison-Wesley Publishing Company, 1995, p. 11

Choix du système

Les états quantiques peuvent apparaître pour un neutron ultra froids

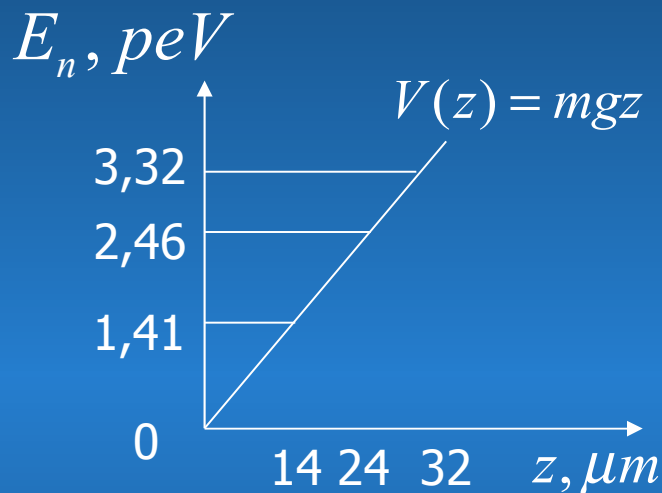
- une particule neutre
- d'une longue durée de vie
- d'une faible masse
- d'une faible énergie (température)

dans un puis formé par un miroir

- diffusion élastique à 99,99%
- absorption 10^{-5}
- diffusion inélastique 10^{-4}
- grande barrière de potentiel

et le champ de pesanteur

Exercice de mécanique quantique



$$z_0 = \sqrt[3]{\frac{\hbar^2}{2gm^2}} = 5,87 \mu\text{m}$$

$$E_n^{\text{qc}} \propto \sqrt[3]{\frac{m}{8}} \hbar g - \frac{1}{4}$$

Diagram showing a series of question marks representing the quantization of the gravitational potential energy. The terms m , $\hbar g$, and $\frac{1}{4}$ are also shown.

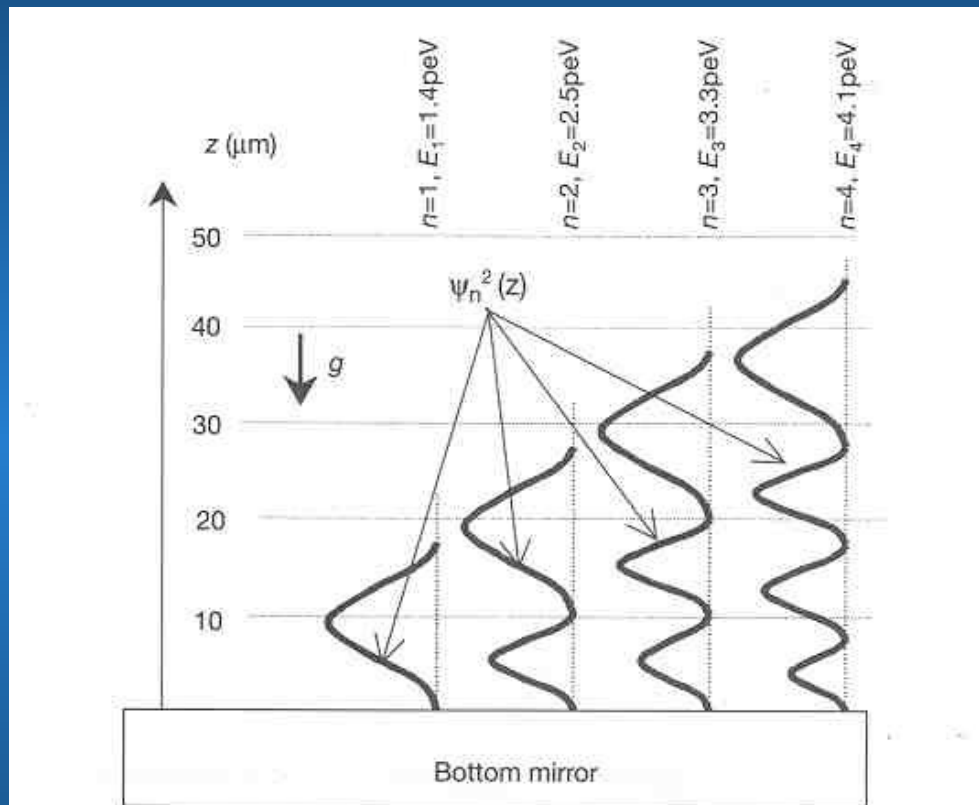
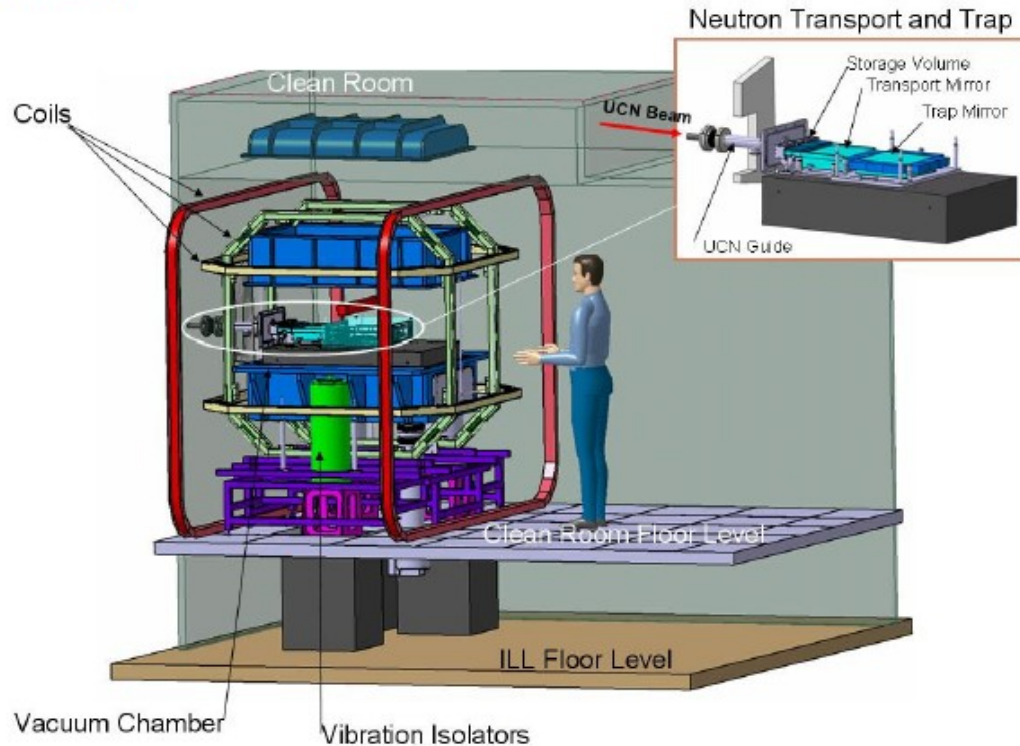


Figure 1 Wavefunctions of the quantum states of neutrons in the potential well formed by the Earth's gravitational field and the horizontal mirror. The probability of finding neutrons at height z , corresponding to the n th quantum state, is proportional to the square of the neutron wavefunction $\psi_n^2(z)$. The vertical axis z provides the length scale for this phenomenon. E_n is the energy of the n th quantum state.

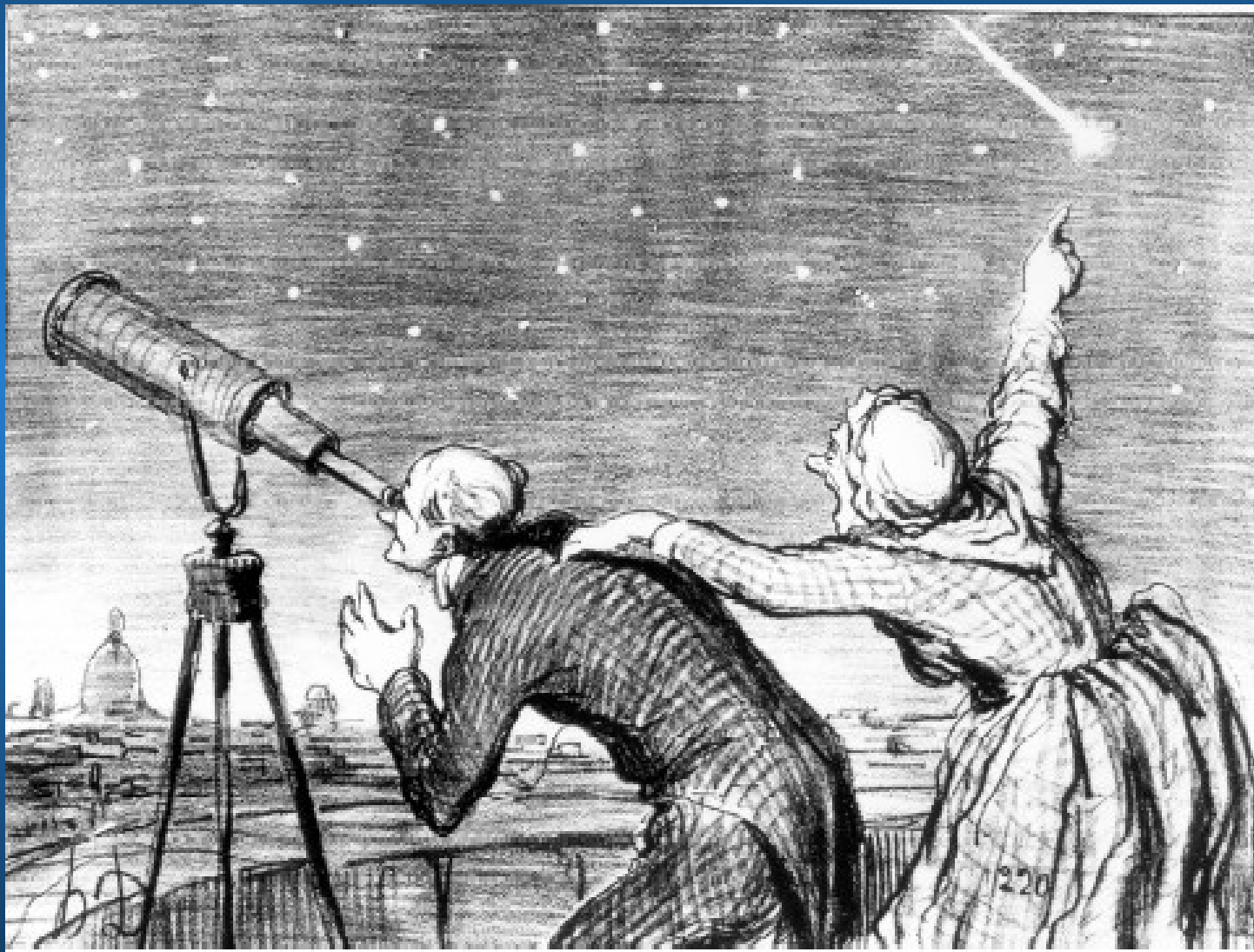


GRANIT Spectrometer

Global View



Que cherche-t-on ?



Physique de GRANIT

- **Gravitation et la Mécanique Quantique**

- perte de la cohérence
 - localisation de la fonction d'onde (revivals)
 - la mécanique quantique « non commutative »
 - masse gravitationnelle vs masse inertielle

- **Physique des particules**

- limites sur la 5e force (e.g. dimensions supplémentaires,...) ;

Nesvizhevsky, Protasov, *Class. Quant. Grav.* **21** (2004) 4775

- recherche de l'axion

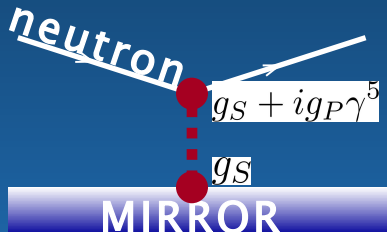
Baessler, Nesvizhevsky, Protasov, Voronin, *Phys. Rev.* **D75** (2007) 075006

- **Physique appliquée**

- guide de neutrons
 - valve parfaite
 - étude des surfaces

Sensitivity to extra short-range forces

Nesvizhevsky, Protasov, *Class. Quant. Grav.* **21** (2004) 4775



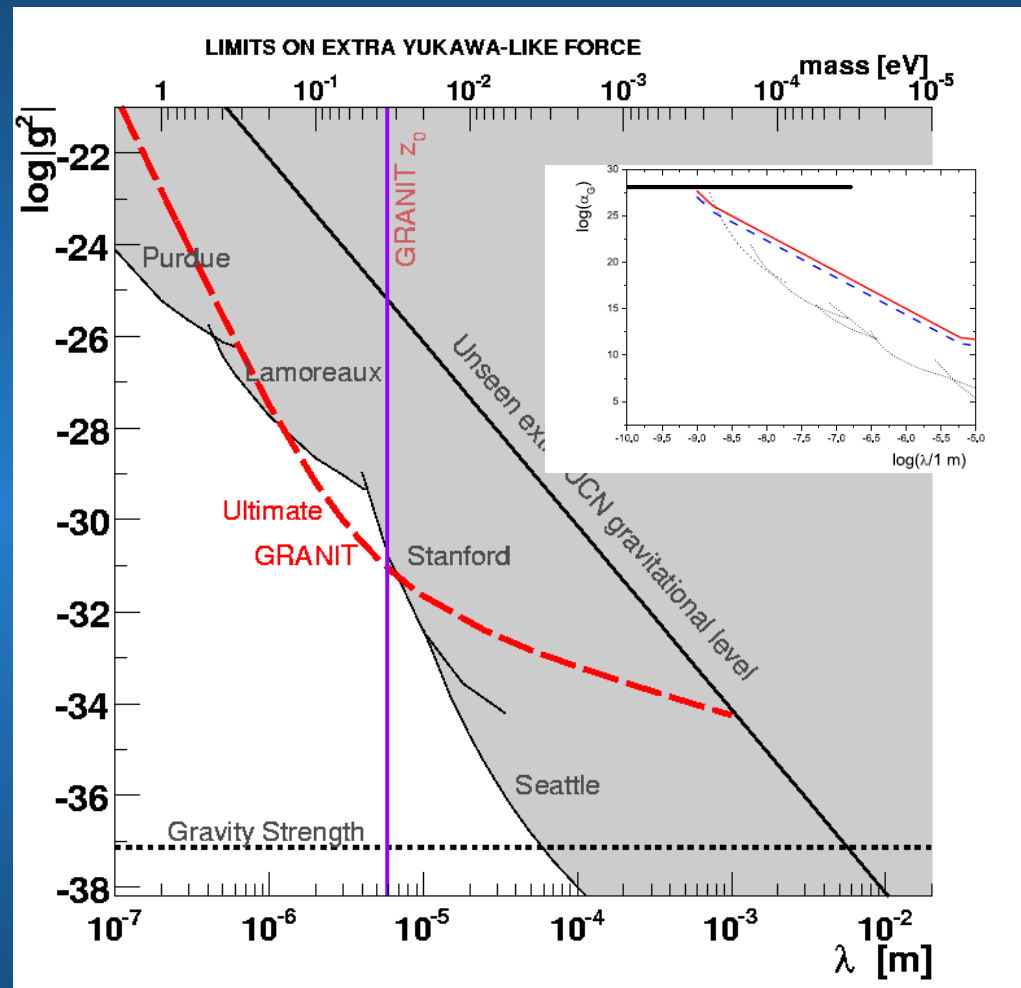
New light boson of mass M

→ A new interaction between the neutron and the mirror with the range of

$$\lambda = \hbar c / M$$

monopole-monopole coupling, spin-independent

$$V_{SS}(z) = \frac{g_S^2}{2} \frac{\rho}{m} \hbar c \lambda^2 e^{-z/\lambda}$$

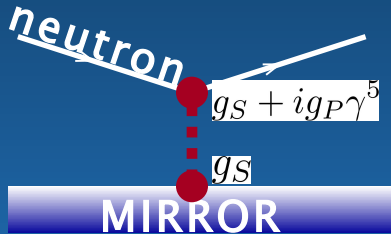


→ Modification of the energy spectrum

Spin-dependent extra short-range forces

PDG 2008

S.Bäßler et al, *Physical Review D* 75(7): 075006(1-4).



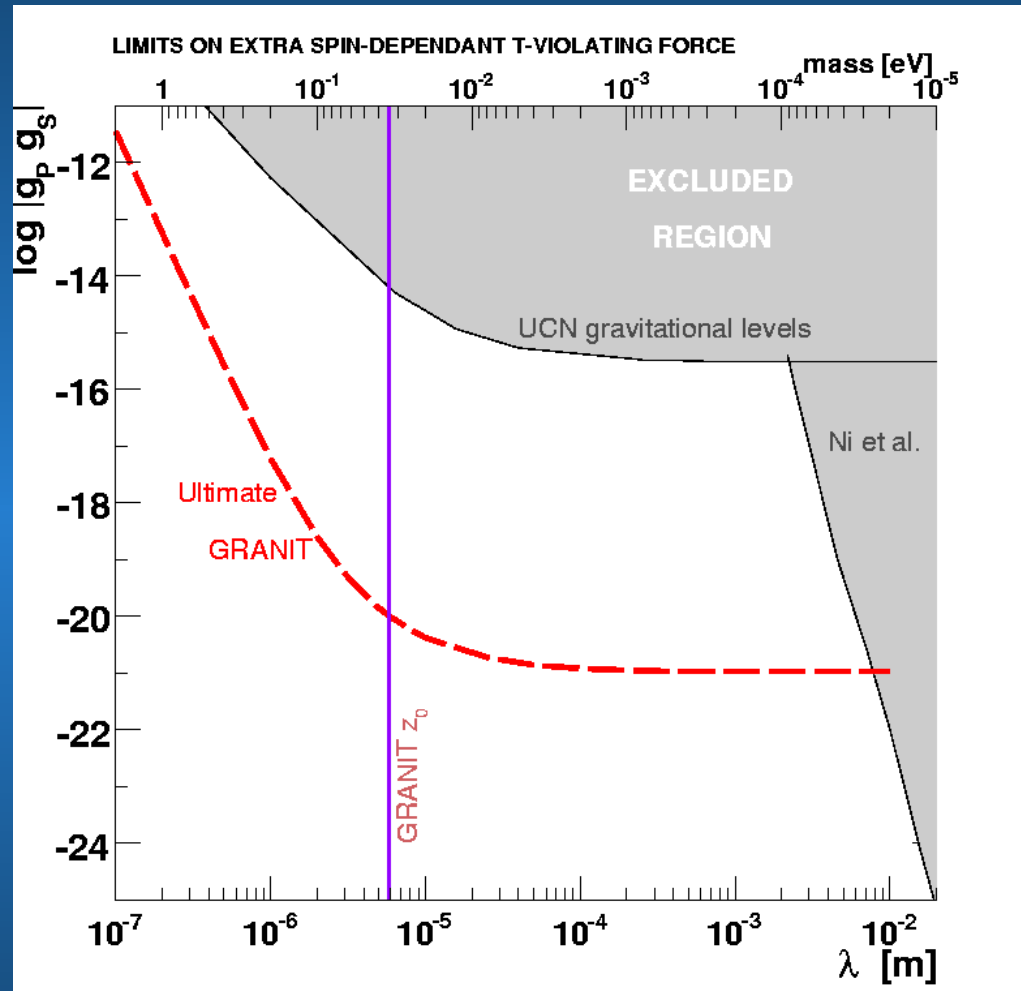
New light boson (axion) of mass M

→ A new interaction between the neutron and the mirror with the range of

$$\lambda = \hbar c / M$$

monopole-dipole coupling
spin-dependant

$$V_{SP}(z) = \frac{g_P g_S}{8} \frac{\rho}{m} \frac{(\hbar c)^2}{mc^2} \lambda \hat{\sigma}_z e^{-z/\lambda}$$

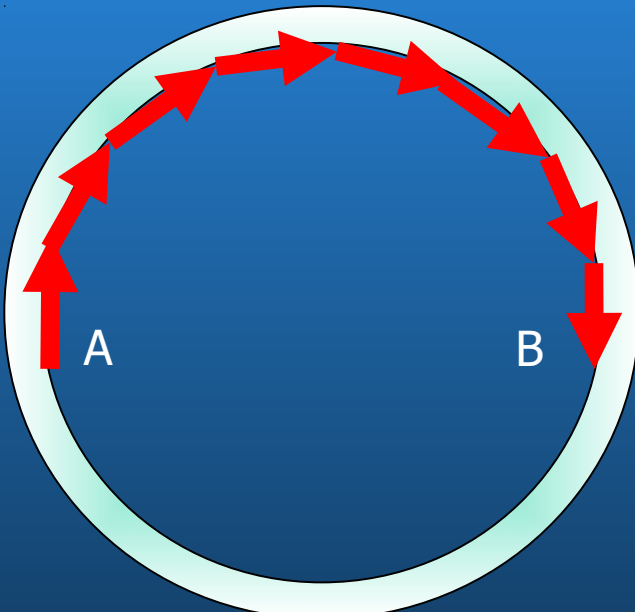


→ Different spectra for spin up and spin down neutrons

États « centrifuges »

première réalisation d'une « galerie de chuchotement » pour des particules massives

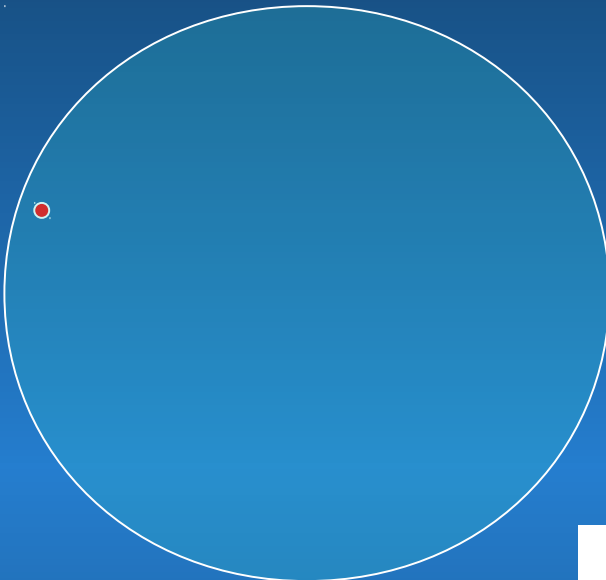
St Paul est le centre spirituel de l'Angleterre: les discours du pape y sont lus et les événements les plus importants y sont célébrés. La façade occidentale, les clochers et la "Whispering Galery" (la galerie de chuchotement), qui rend tout chuchotement audible à de grandes distances, sont uniques.



$$I(r_{AB}) \sim r_{AB}^{-1}$$

- [1] J. W. Strutt Baron Rayleigh, *The Theory of Sound* (Macmillan, London 1878), Vol. 2.
- [2] L. Rayleigh, *Philos. Mag.* 27, 100 (1914).

Et si l'on attrape une particule massive ?



On arrive à confiner une particule
Entre un mure et une barrière centrifuge



Un mouvement quantique

nature
physics

LETTERS

PUBLISHED ONLINE 12 DECEMBER 2009 | DOI:10.1038/NPHYS1428

Nature Physics, 6, 114–117 (2010)

Neutron whispering gallery

Valery V. Nesvizhevsky¹*, Alexei Yu. Voronin², Robert Cubitt¹ and Konstantin V. Protasov³

The ‘whispering gallery’ effect has been known since ancient times for sound waves in air^{1,2}, later in water and more recently for a broad range of electromagnetic waves: radio, optics, Roentgen and so on^{3–9}. It consists of wave localization near a curved reflecting surface and is expected for waves of various natures, for instance, for atoms^{10–12} and neutrons⁹. For matter waves, it would include a new feature: a massive particle would be settled in quantum states, with parameters depending on its mass. Here, we present for the first time the quantum whispering-gallery effect for cold neutrons. This phenomenon provides an example of an exactly solvable problem analogous to the ‘quantum bouncer’¹³; it is complementary to the recently discovered gravitationally bound quantum states of neutrons⁹. These two phenomena provide a direct demonstration of the weak equivalence principle for a massive particle in a pure quantum state¹⁴. Deeply bound whispering-gallery states are long-living and weakly sensitive to surface potential; highly excited states are short-living and very sensitive to the wall potential shape. Therefore, they are a promising tool for studying fundamental neutron–matter interactions^{15–17}, quantum neutron optics and surface physics effects^{18–19}.

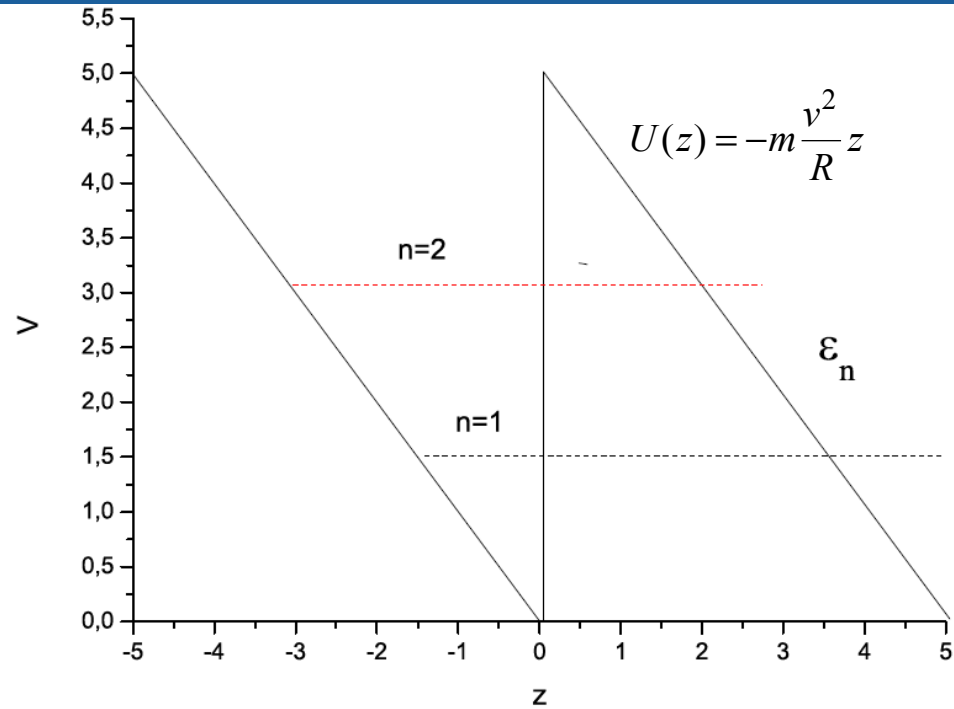
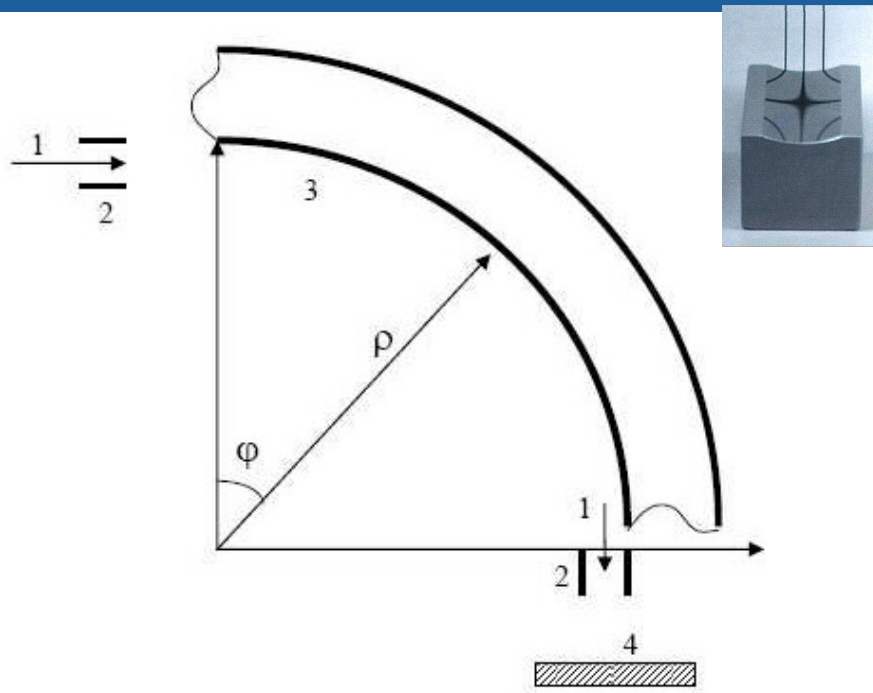
The classical whispering-gallery phenomenon can be understood

A diagram showing the experimental setup for a neutron whispering-gallery experiment. It features a curved cylindrical mirror (2) with a central axis. A horizontal line represents the axis of rotation. A vertical dashed line represents the axis of symmetry. A horizontal arrow labeled 'v' indicates the velocity of the incoming neutron. Numbered points 1 through 7 indicate the path of the neutron as it enters, reflects off the curved surface, and exits. A small inset image shows a photograph of a single-crystal cylindrical silicon mirror used in the experiment.

Figure 1 | A scheme of the neutron centrifugal experiment. 1: Classical trajectories of incoming and outgoing neutrons, 2: cylindrical mirror, 3: neutron detector. A: quantum motion along the mirror surface. Inset: A photo of the single-crystal cylindrical silicon mirror used for the presented experiments, with an optical reflection of black stripes for illustrative purposes.

États « centrifuges »

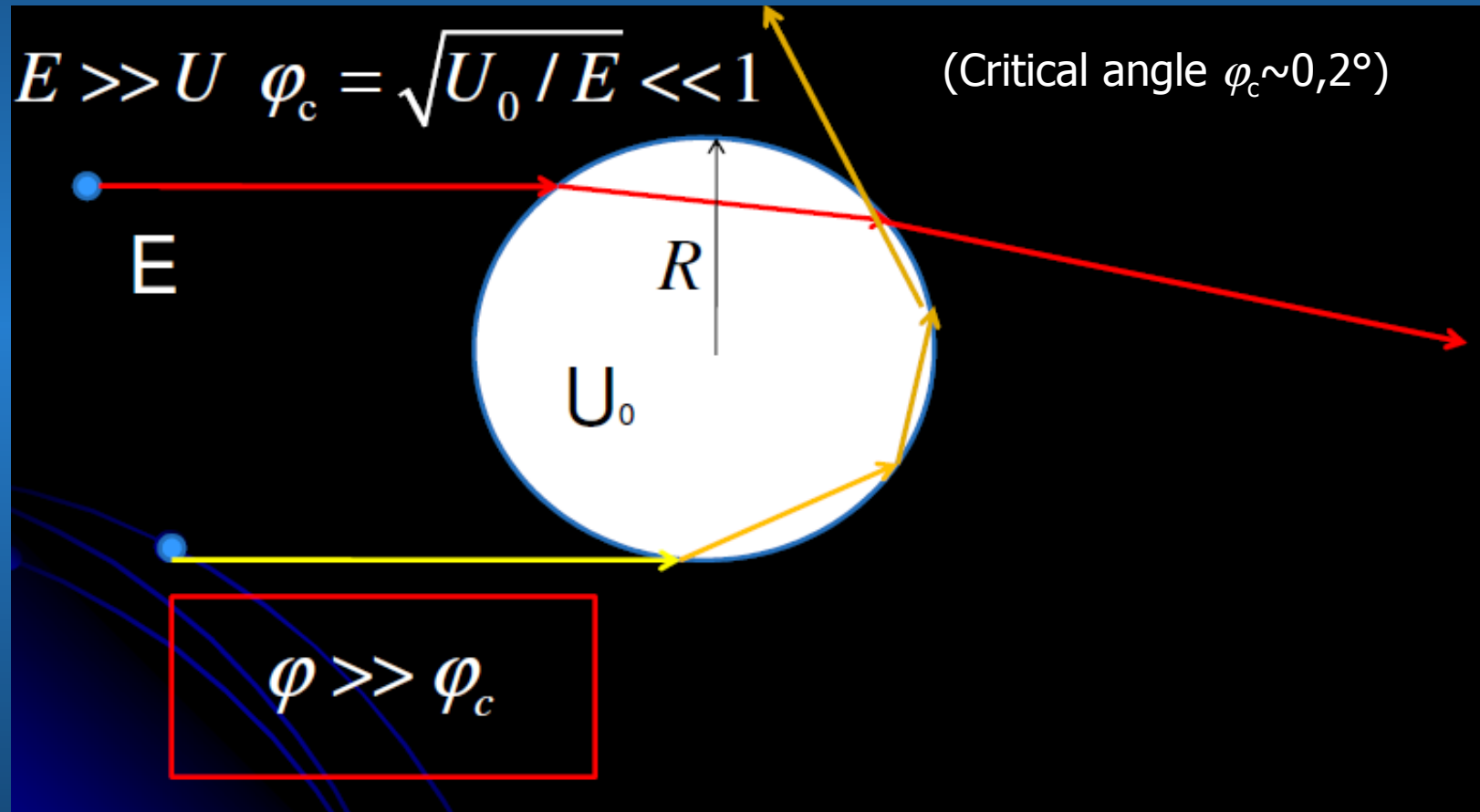
Les neutrons se mettent dans les états quasi stationnaires qui se désintègrent par l'effet tunnel à travers le miroir



$$\Psi \propto \frac{\text{Bi}(z/l_0 - z_0) + i\text{Ai}(z/l_0 - z_0)}{\text{Ai}(z/l_0)} \quad z < 0 \quad z \neq 0 ; \quad \varepsilon_0 = \frac{\hbar^2 M v^4}{2 R^2} \frac{l_0^{1/3}}{l_0} \quad \text{-characteristic energy} \quad l_0 = \frac{\hbar^2 R}{M^2 v^2} \frac{l_0^{1/3}}{l_0} \quad \text{-characteristic length}$$

$$z_0 = V_F / \varepsilon_0 \quad V_F - \text{mirror bulk Fermi potential}$$

Classical solution

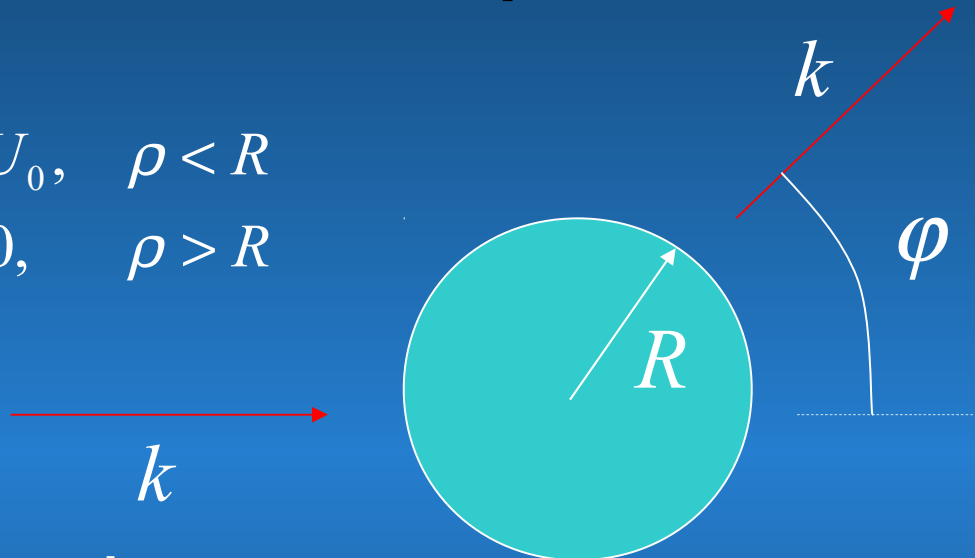


No classical refraction to big angles

Formal QM solution of the problem

Potential

$$U(\rho) = \begin{cases} -U_0, & \rho < R \\ 0, & \rho > R \end{cases}$$



NB. We are working with

$$kR \gg 10^8$$

$$\frac{mU_0R^2}{\hbar^2} \gg 10^8$$

Born approximation can not be used

Two dimensional scattering amplitude

$$f(k, \varphi) = \frac{1}{i} \sqrt{\frac{h}{2\pi k}} \sum_{m=-\infty}^{+\infty} (S_m(k) - 1) e^{im\varphi}$$

With the scattering matrix

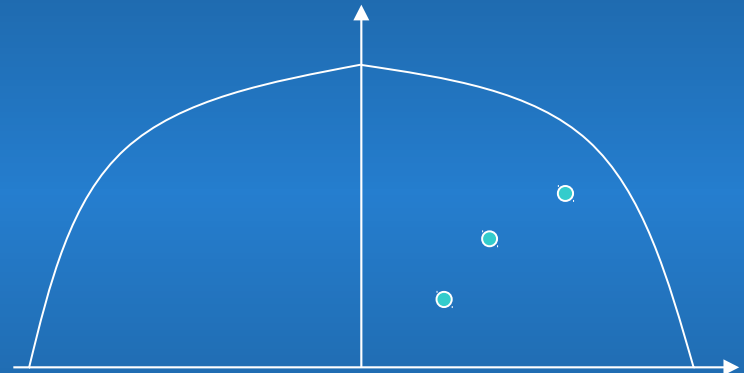
$$S_m(k) = \frac{N'_m(kR) + iJ'_m(kR) - \frac{\kappa}{k} \frac{J'_m(\kappa R)}{J_m(\kappa R)} [N_m(kR) + iJ_m(kR)]}{N'_m(kR) - iJ'_m(kR) - \frac{\kappa}{k} \frac{J'_m(\kappa R)}{J_m(\kappa R)} [N_m(kR) - iJ_m(kR)]}$$

with $\kappa = \sqrt{k^2 + 2MU_0}$

And the sum is replaced by the integral
("Watson transformation")

$$f(k, \varphi) = \frac{1}{i} \sqrt{\frac{h}{2\pi k}} \int_{-\infty}^{+\infty} (S_m(k) - 1) e^{im\varphi} dm$$

In the complex m -plane



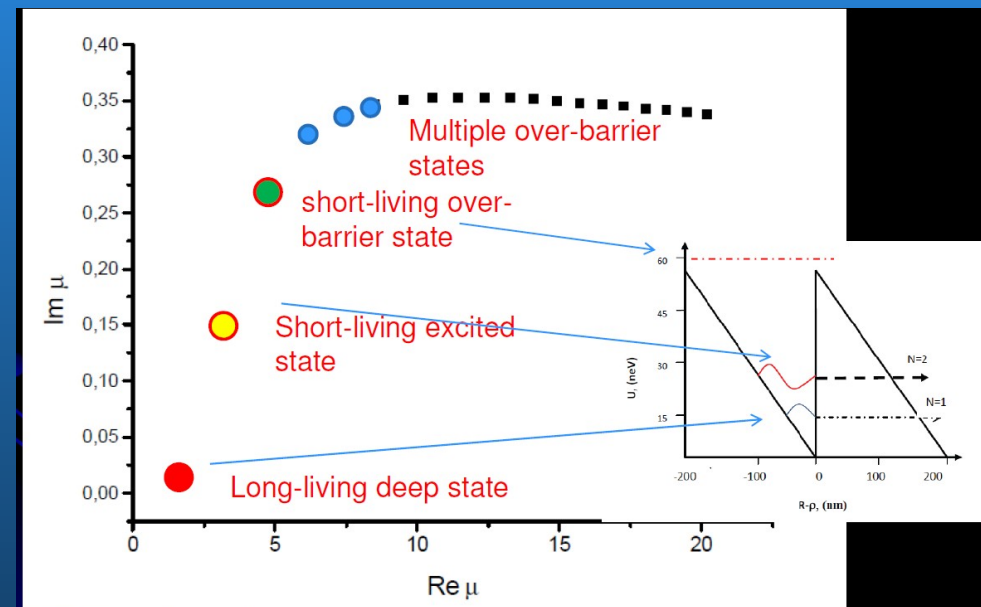
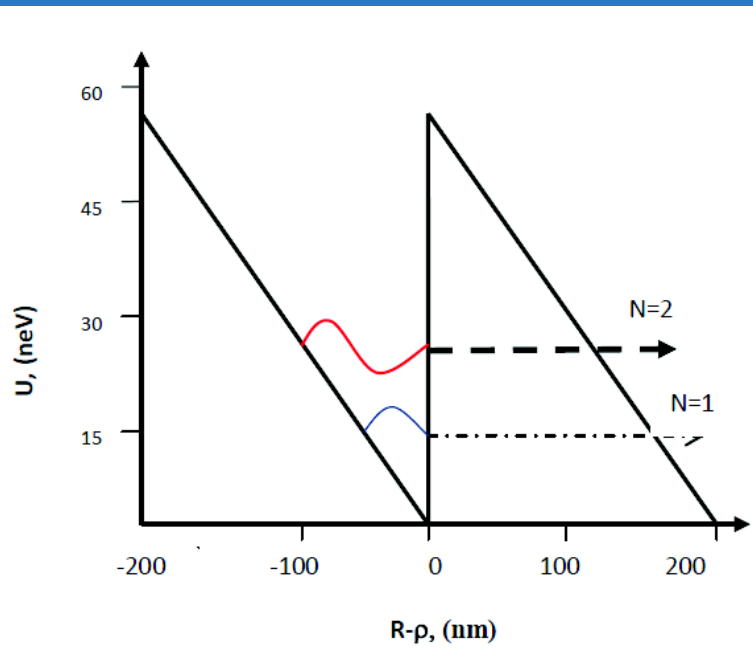
$$f(k, \varphi) \equiv \sqrt{\frac{2\pi h}{k}} \sum_i \text{Res} S_{\mu_i}(k) e^{i \text{Re} \mu_i \varphi} e^{-i \text{Im} \mu_i \varphi}$$

This is the sum over **Regge poles**

Physical interpretation of Regge poles

$$U(\rho) = \frac{\hbar^2}{2M\rho^2} \left(\frac{?}{?} m^2 - \frac{1}{4} \left(\frac{?}{?} \right)^2 \right) \text{Const} + \frac{\hbar^2}{2MR^2} \left(\frac{?}{?} m^2 - \frac{1}{4} \left(\frac{?}{?} \right)^2 - \frac{2z}{R} \left(\frac{?}{?} \right)^2 \right)$$

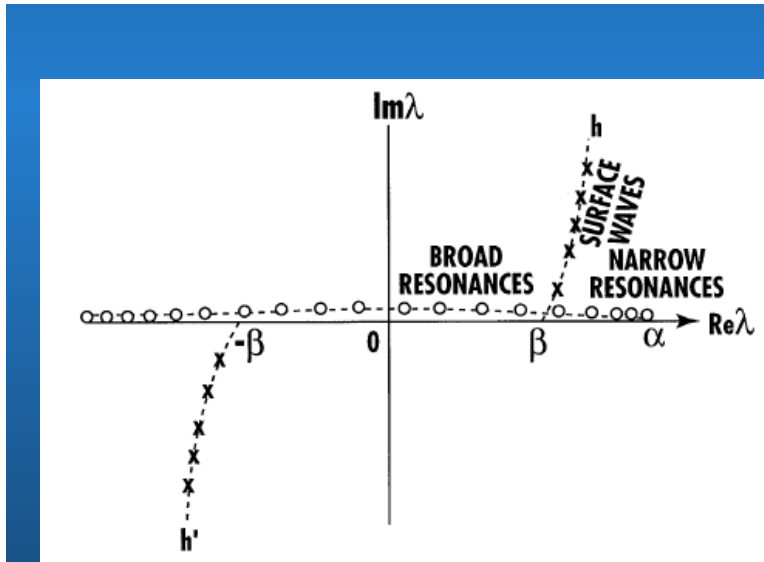
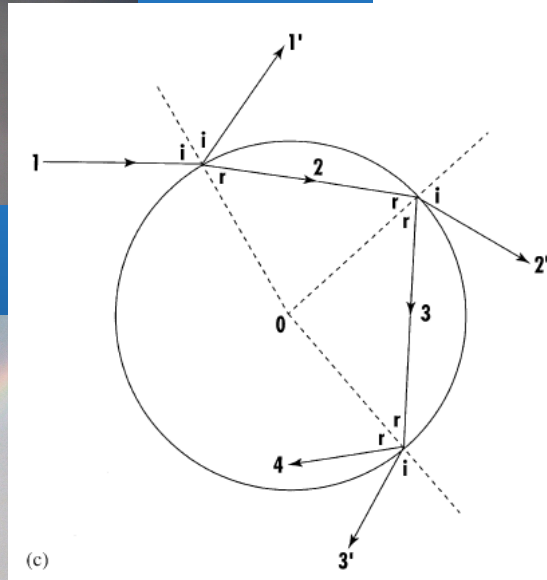
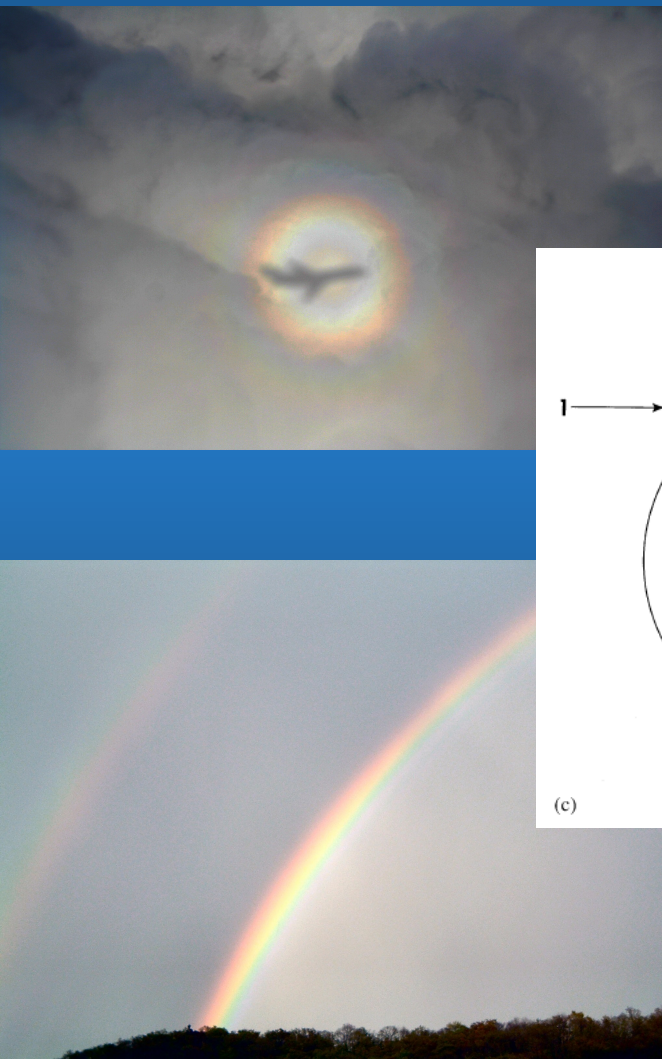
with $\rho = R - z$



Analogue exacte de l'arc-en-ciel/gloria (Nusseinzweig, 1969)

$$f(\beta, \theta) = \frac{i}{\beta} \sum_{m=-\infty}^{\infty} (-1)^m \int_0^{\infty} [1 - S(\lambda, \beta)] P_{\lambda-1/2}(\cos \theta) e^{2im\pi\lambda} \lambda d\lambda$$

$$S(\lambda, \beta) = - \frac{H_\lambda^{(2)}(\beta)}{H_\lambda^{(2)}(\beta)} \left\{ \frac{\ln' H_\lambda^{(2)}(\beta) - N \ln' J_\lambda(\alpha)}{\ln' H_\lambda^{(1)}(\beta) - N \ln' J_\lambda(\alpha)} \right\}$$



$$\lambda_n \approx \beta + \frac{x_n e^{i\pi/3}}{(2/\beta)^{1/3}} + \frac{i}{(N^2 - 1)^{1/2}}$$

How to populate these states?

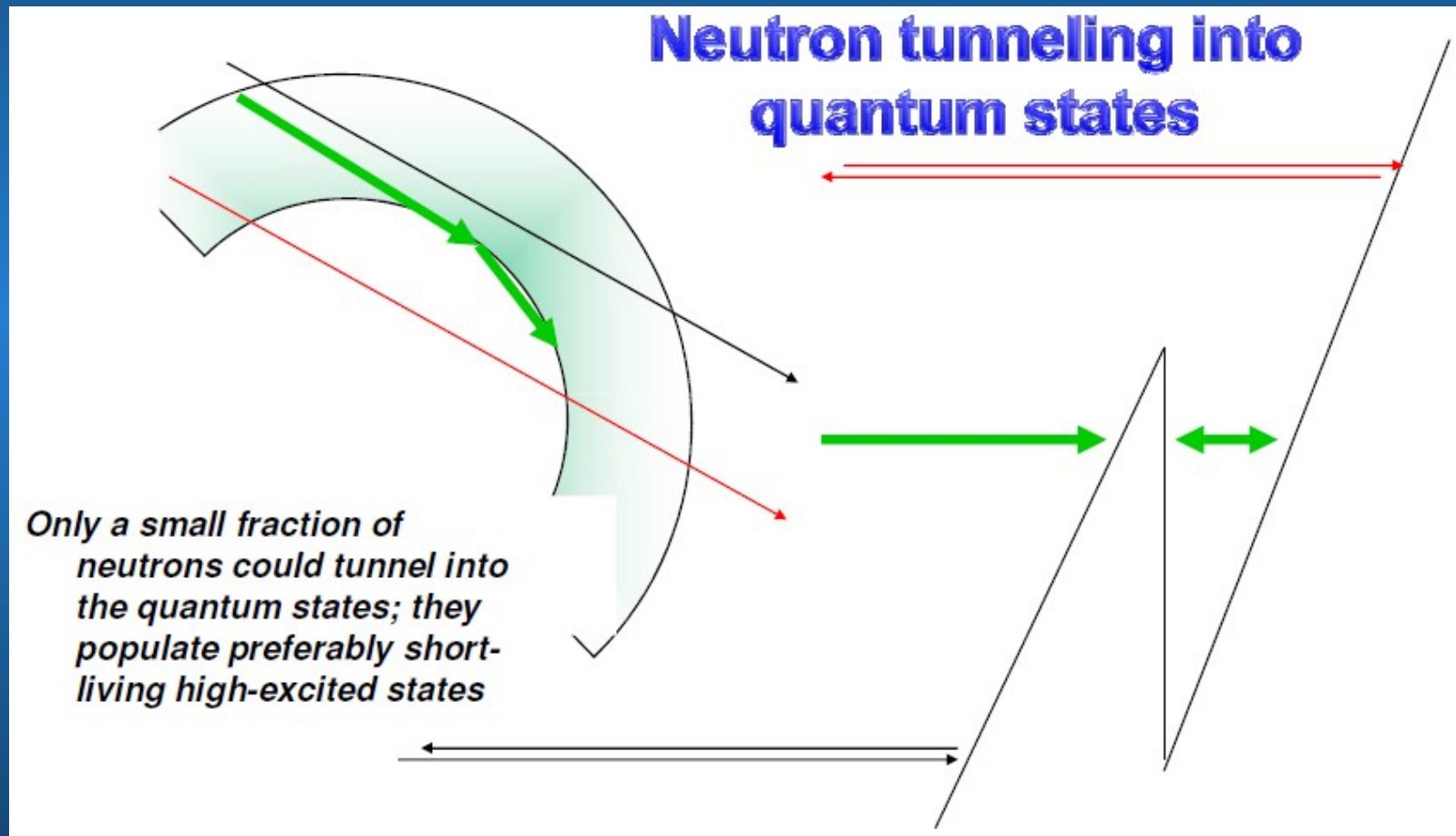
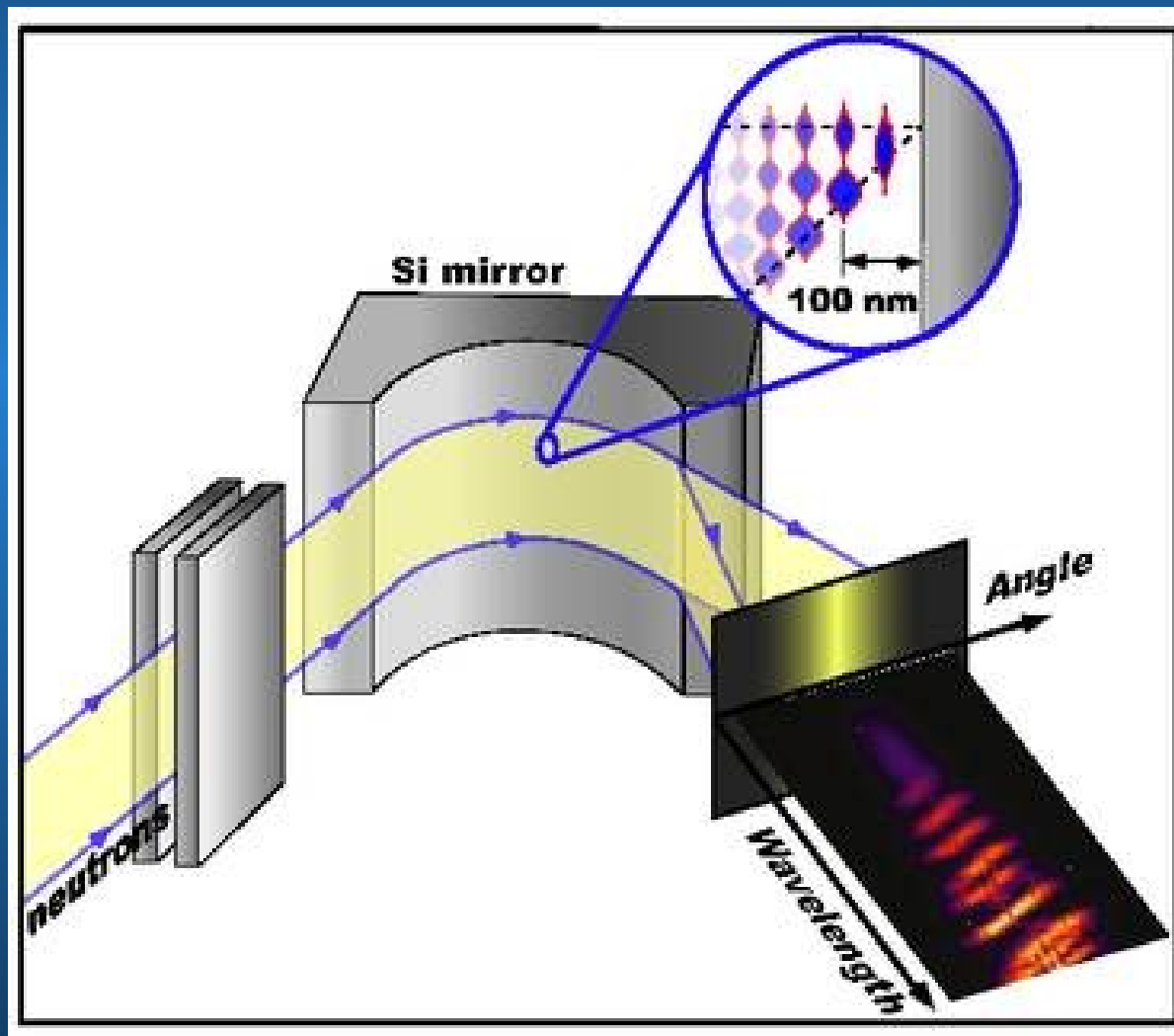
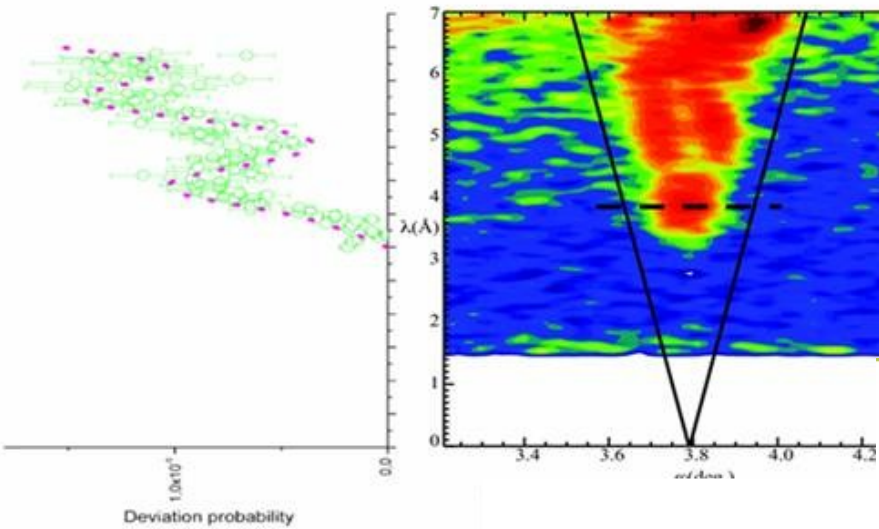


Schéma de l'expérience



Premiers résultats



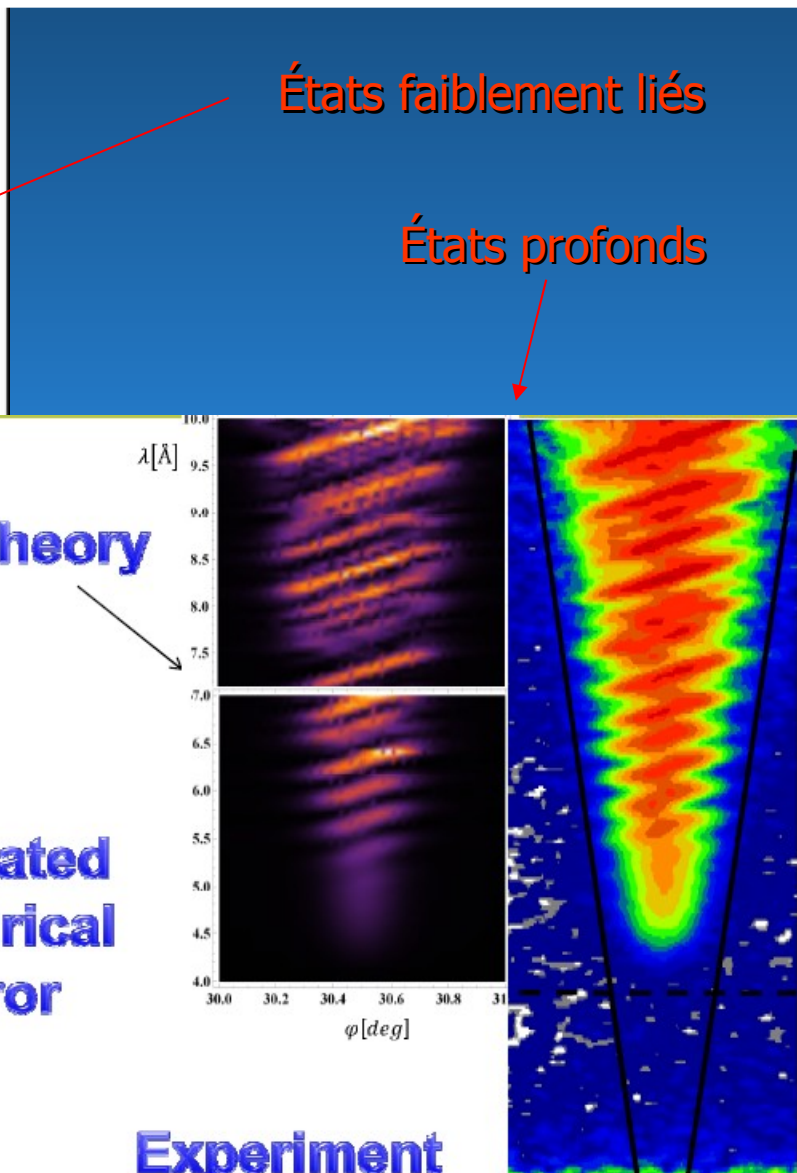
États faiblement liés

États profonds

Theory

Truncated
cylindrical
mirror

Étude directe d'une équivalence
entre la gravitation (GRANIT) et
l'inertie (états « centrifuges »)

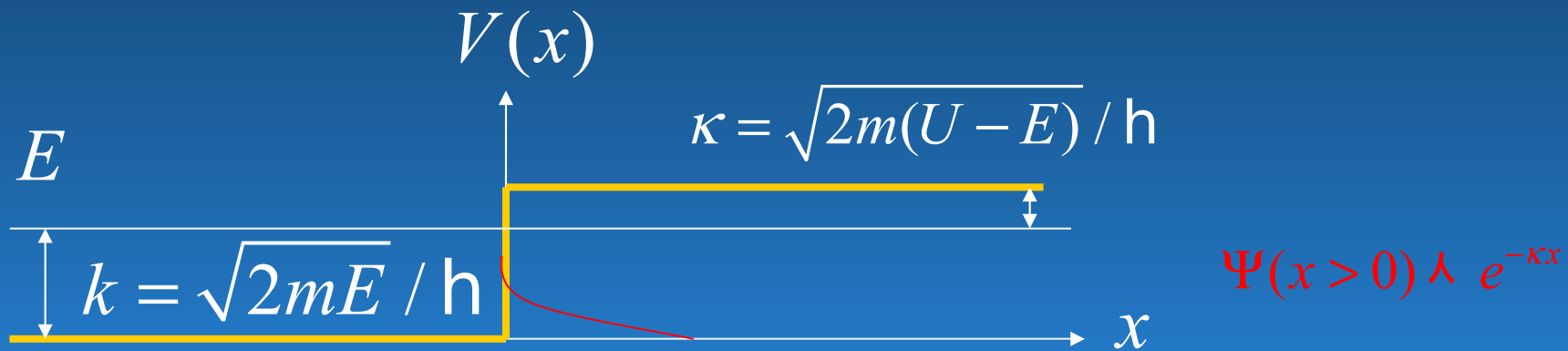


Conclusions

- La physique des UCN a apporté, à ces 40 ans, des résultats particulièrement importants
- Mise en place des nouvelles sources des UCN est en train d'ouvrir une nouvelle page dans ces études
- On aura besoin des belles idées et des bons physiciens

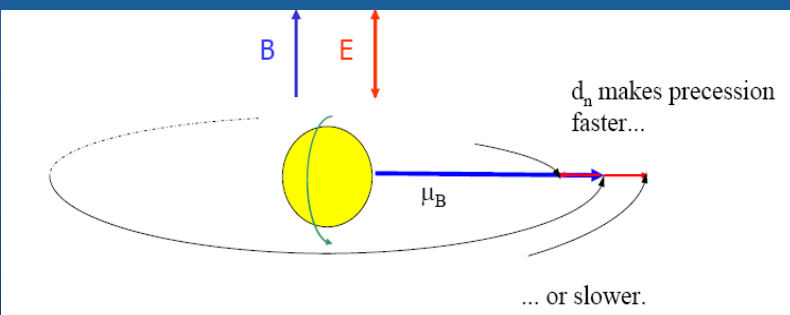
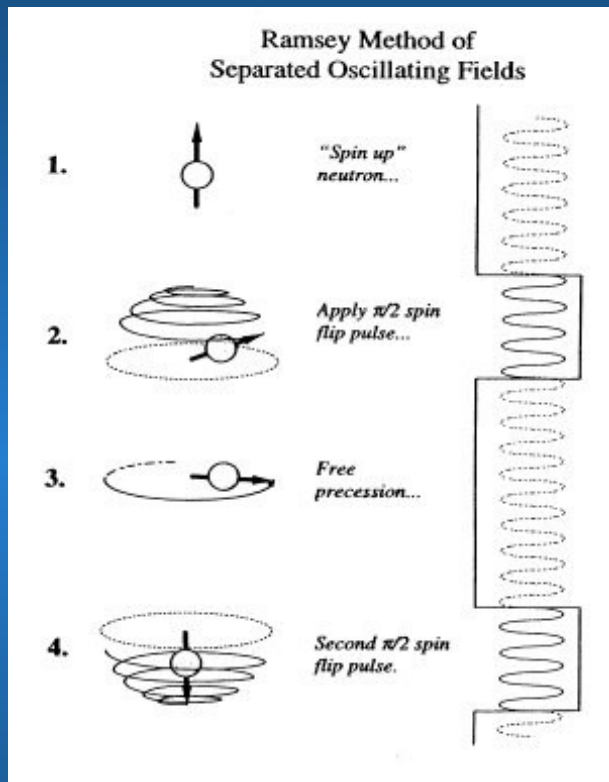


Mécanisme de réflexion

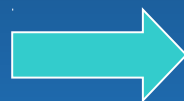


Analogie avec l'optique – réflexion totale

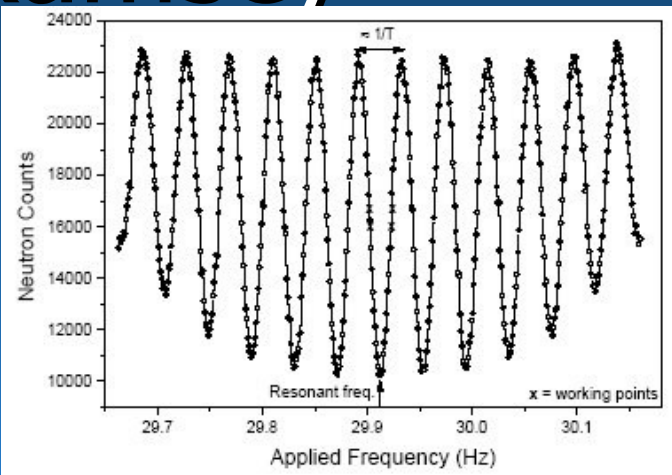
Méthode de Ramsey



$N \uparrow$



T



$$H = 2(\mu_n \vec{E} \cdot \vec{B} + \mu_n \vec{E} \cdot \vec{E})$$

- $B \sim 1$
 - $E = 1$
 - $T \sim 1$
 - $v \sim 1$
-

Pour $d_n = 10^{-7} \text{ cm}$ et $E = 15 \text{ kV/cm}$

$$\Delta \epsilon \sim 6 \cdot 10^{-23} \text{ eV} \leftrightarrow \Delta v \sim 10^{-8} \text{ Hz}$$

$$\Delta \epsilon \sim 6 \cdot 10^{-23} \text{ eV} \leftrightarrow \Delta v \sim 10^{-8} \text{ Hz}$$

Quatre interactions

Electromagnétique

Etats liés : atomes, molécules

Quantum : photon

Faible

Etats liés : -

Quantum : W, Z

Forte

Etats liés : noyaux, nucléons

Quantum : gluon

Gravitationnelle

Etats liés : ?

Quantum : ?

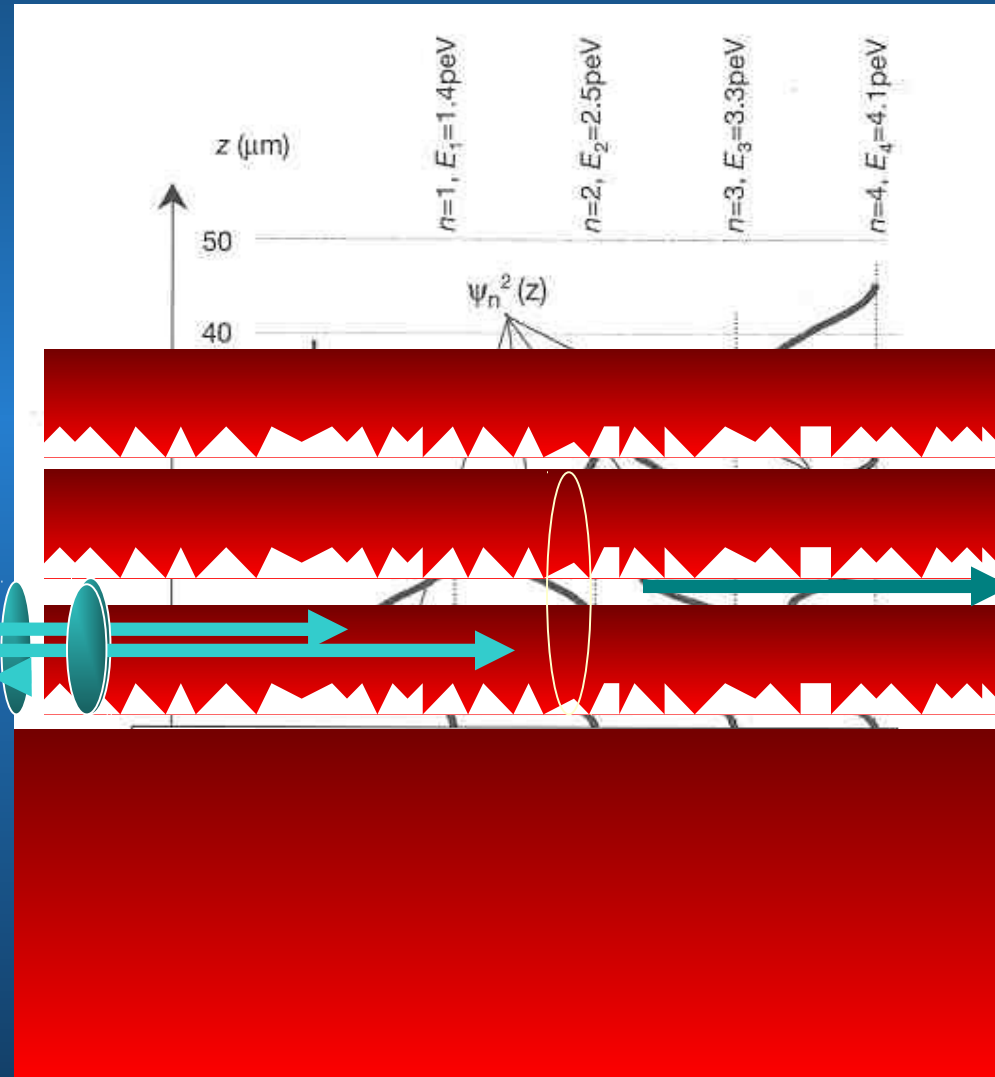
Méthodes d'observation

- Méthode intégrale (recherche d'un paramètre avec un comportement discret)
- Méthode différentielle (visualisation de la fonction d'onde – « photo »)
- *Recherche des transitions entre les niveaux quantiques (GRANIT)*

Méthode intégrale

v_x : 10 m/s

v_z : 10 cm/s



Idée de l'installation :

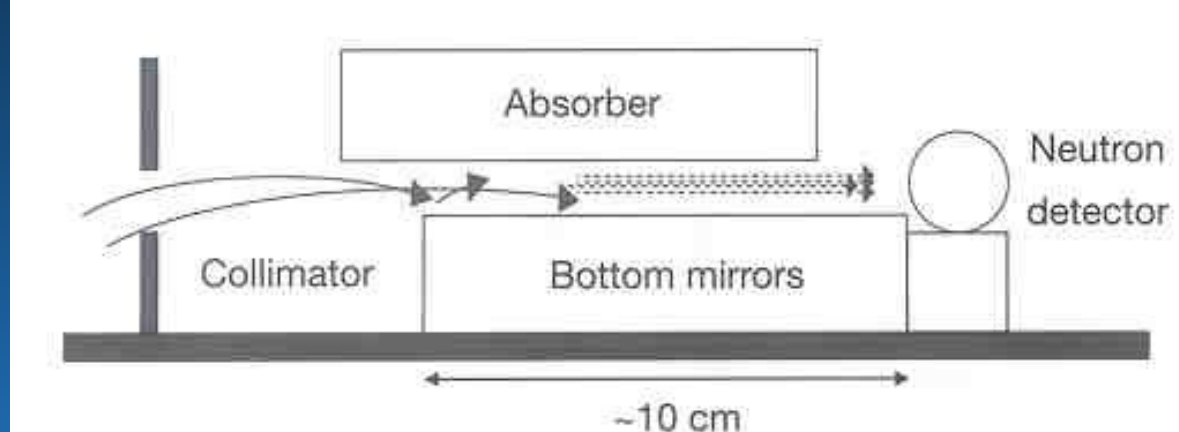
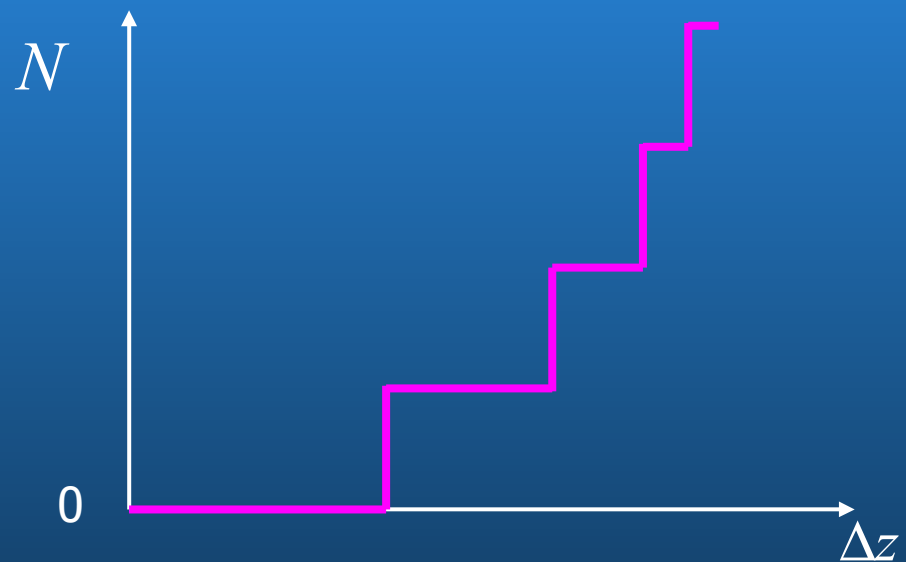


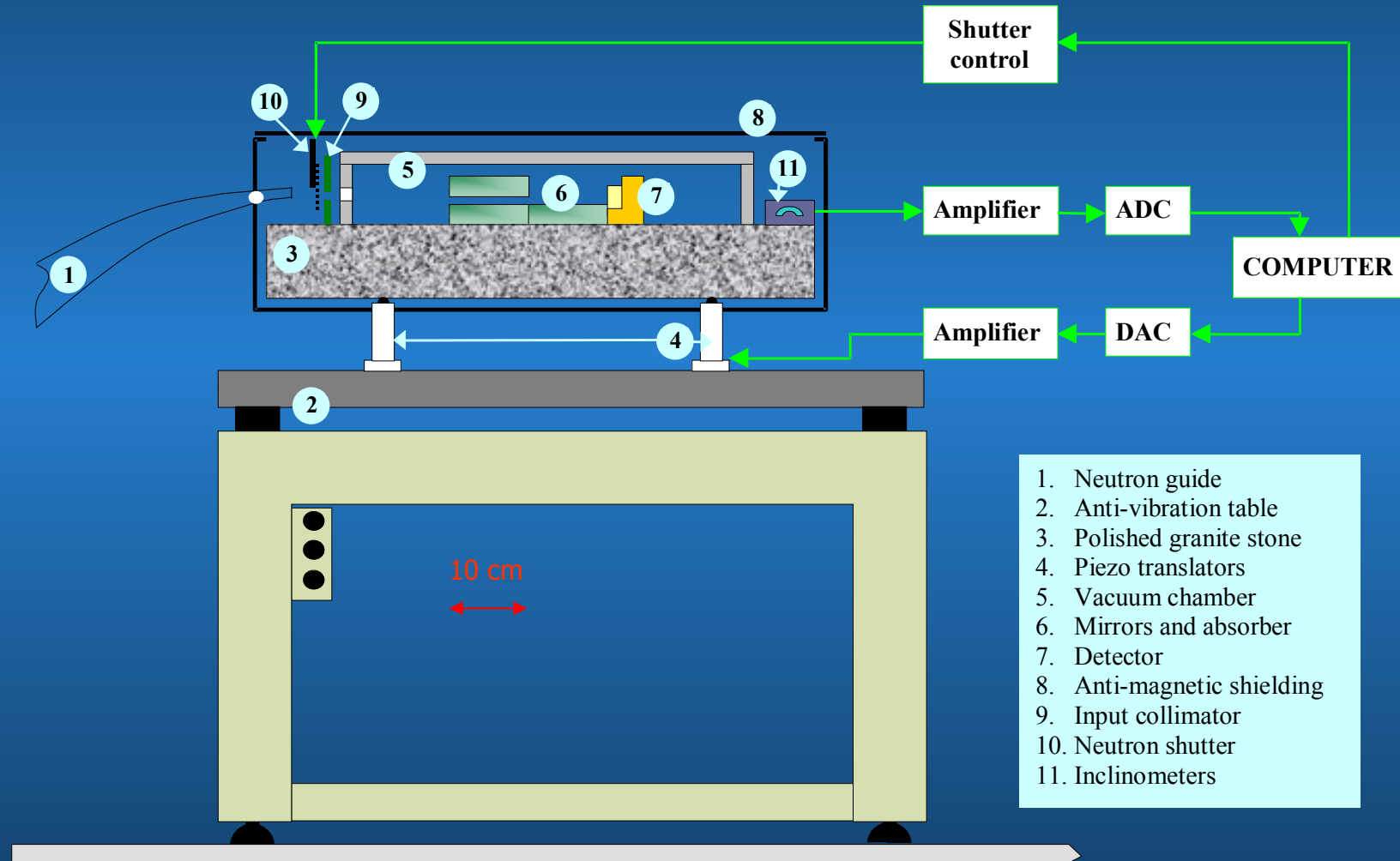
Figure 2 Layout of the experiment. The limitation of the vertical velocity component depends on the relative position of the absorber and mirror. To limit the horizontal velocity component we use an additional entry collimator. The relative height and size of the entry collimator can be adjusted.

Résultat espéré (naïvement) :

$$N : \left(E_n^{\text{qc}} \right)^{2/3} : \Delta z^{2/3} \text{ pour } \Delta z \text{ } \text{ et } \text{ }$$



Installation



Premiers résultats (1999)

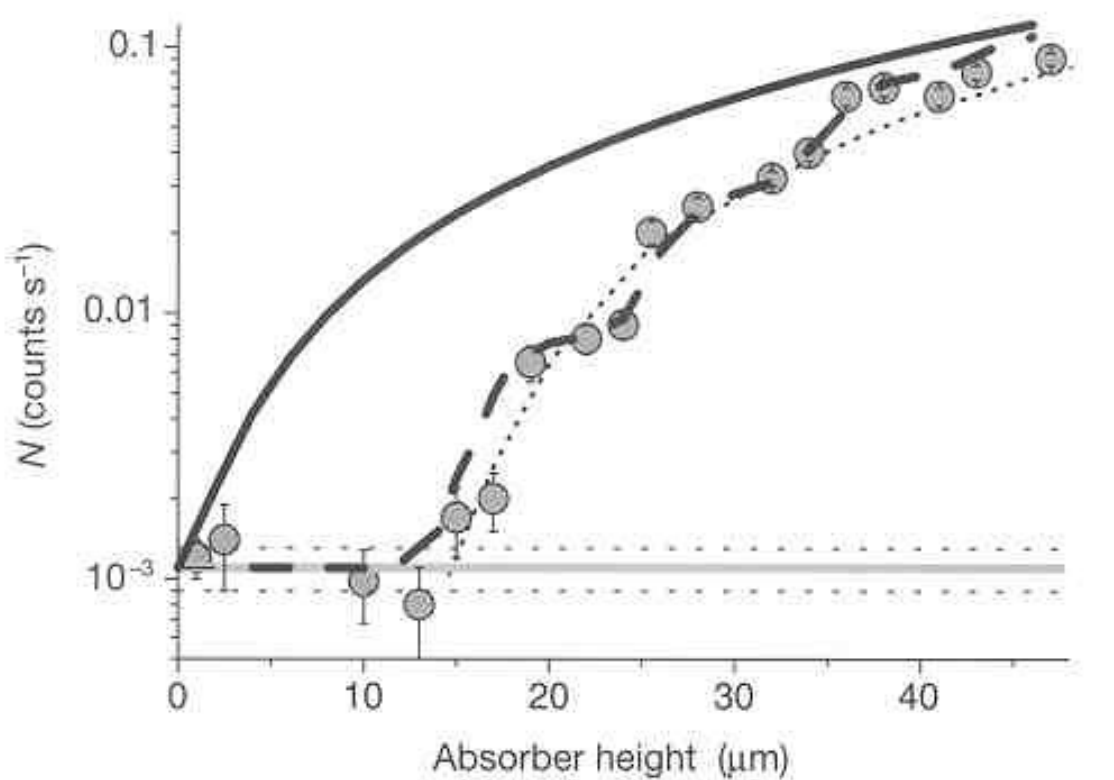
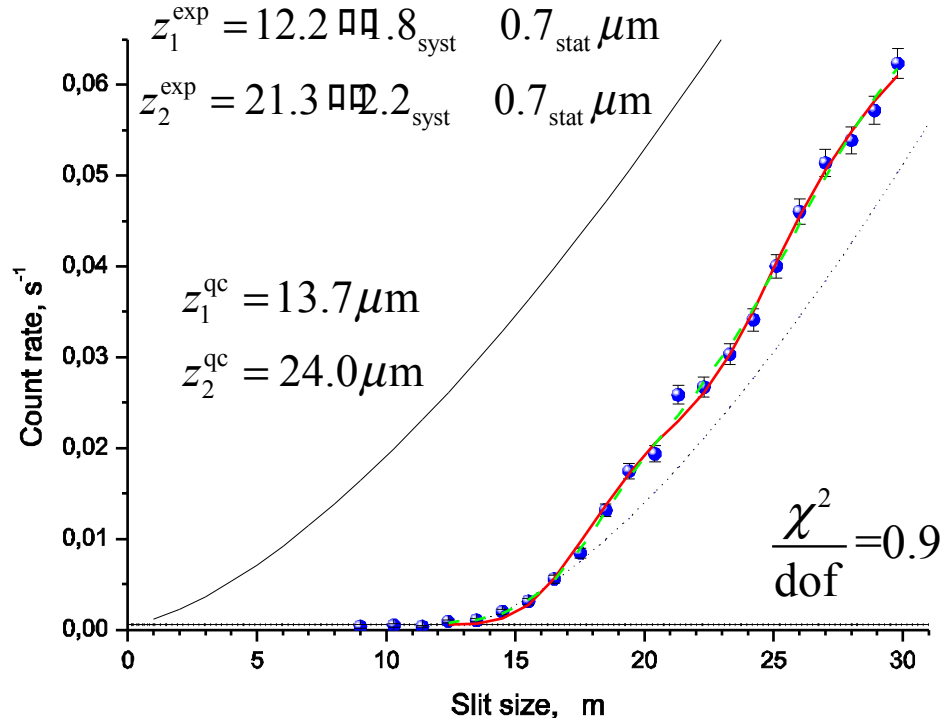


Figure 4 The neutron throughput versus the absorber height at low height values. The data points are summed up in intervals of $2 \mu\text{m}$. The dashed curve corresponds to a fit using the quantum-mechanical calculation, in which all level populations and the height resolution are fitted from the experimental data. The solid curve is again the full classical treatment. The dotted line is a truncated fit in which it is assumed that only the lowest quantum state—which leads to the first step—exists.

On voit l'état fondamental !!!

Problème de la résolution

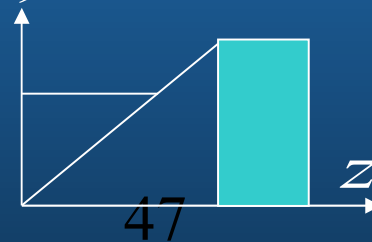


- Il existe une résolution minimale que l'on peut pas améliorer
- Cette résolution est directement liée au champ gravitationnel lui-même
- Elle est due à l'effet tunnel à travers de la barrière gravitationnelle

$V(z)$

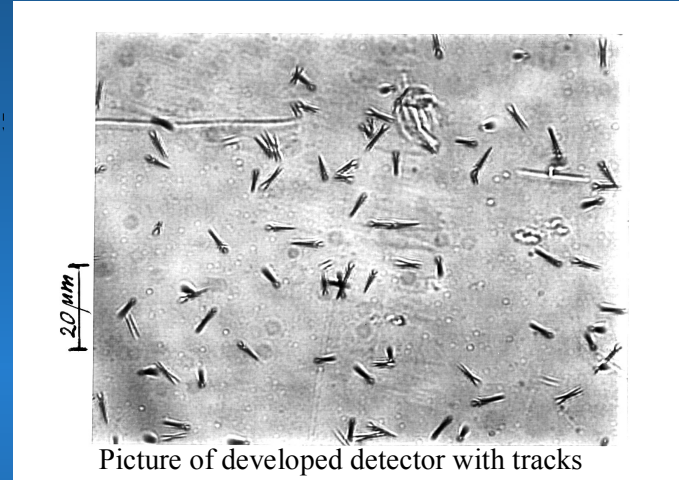
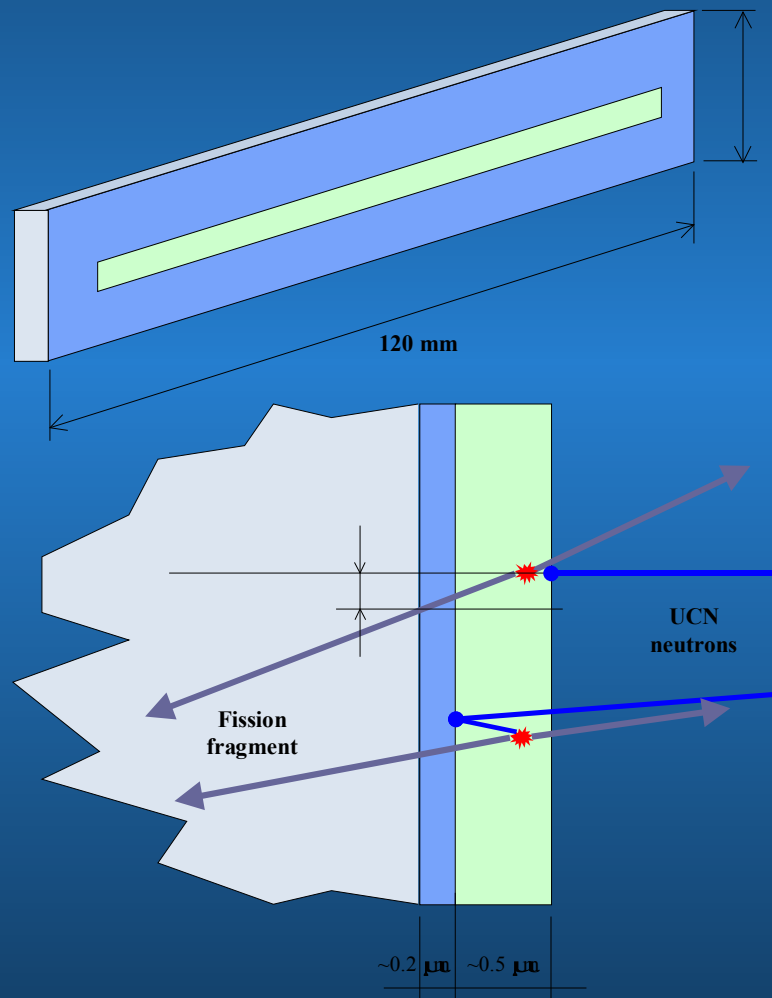
$$N(\Delta z) = \beta \sum_n \text{Exp} \left[-\frac{4}{3} \frac{\Delta z - z_n}{z_0} \right]$$

Diagram illustrating the effect of the potential barrier $V(z)$ on the distribution of Δz . The potential barrier is shown as a blue shaded region, and the distribution is represented by a series of diamond shapes with question marks, indicating the range of possible Δz values for a given z .



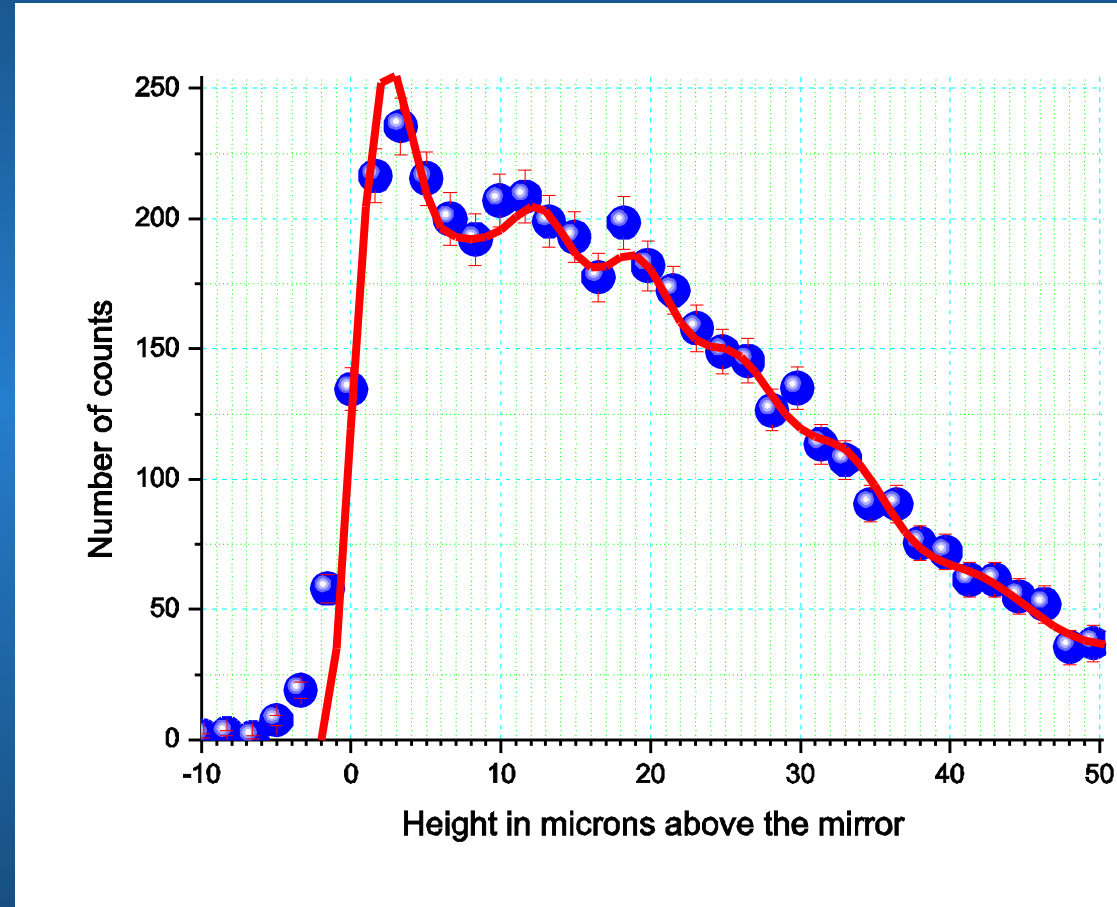
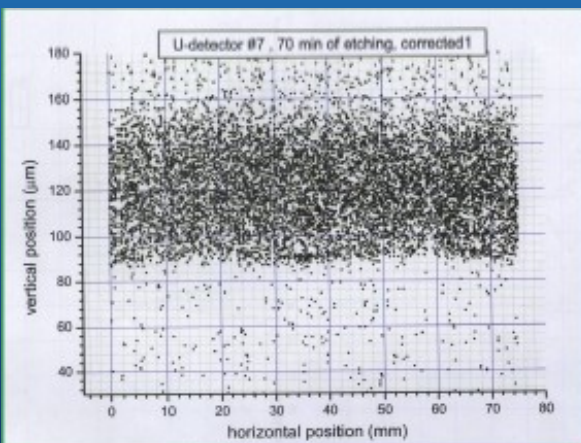
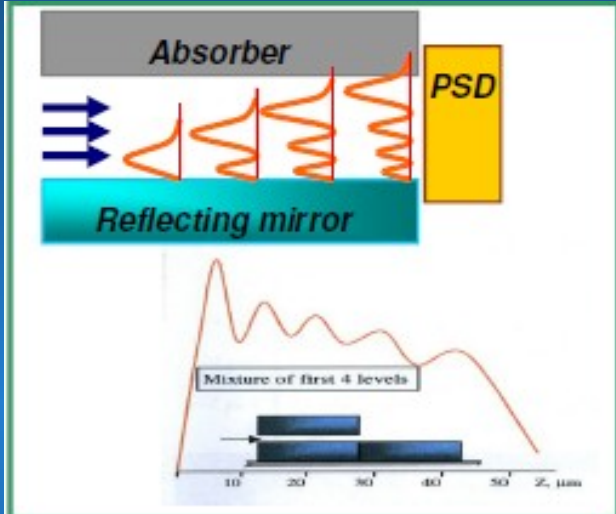
« Photo » de la fonction d'onde

(déTECTEUR à haute résolution spatiale)



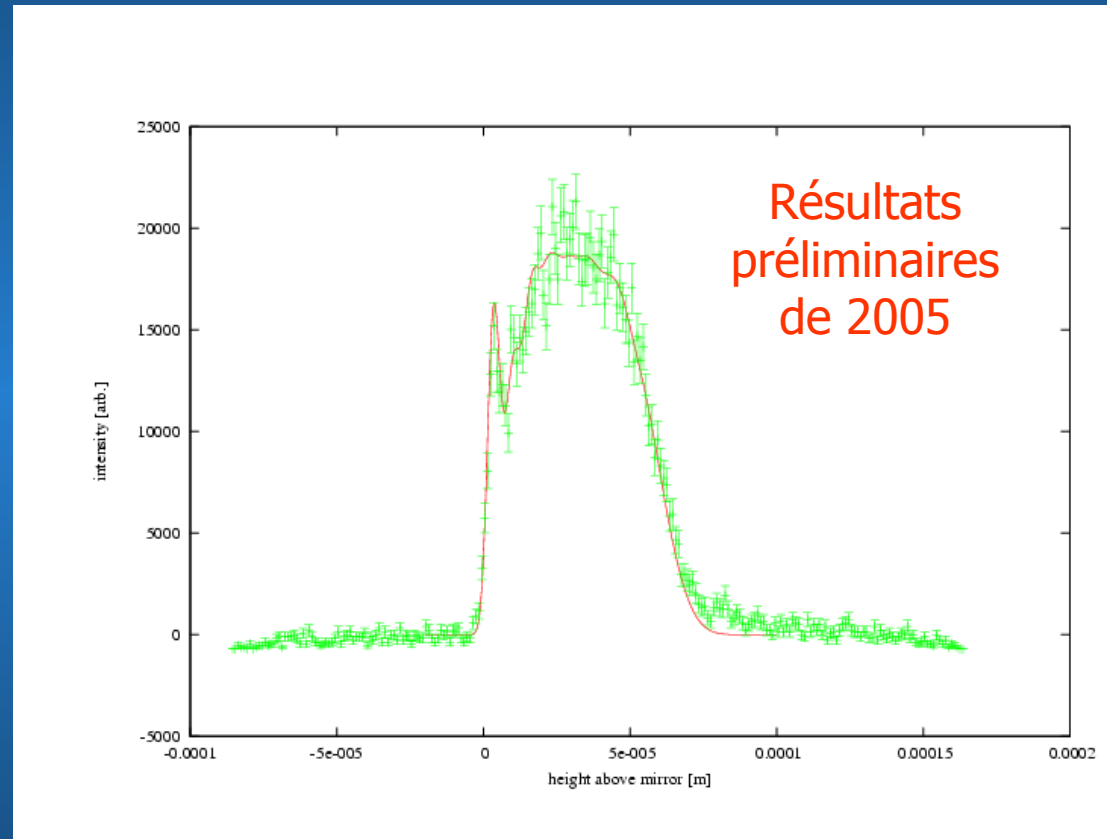
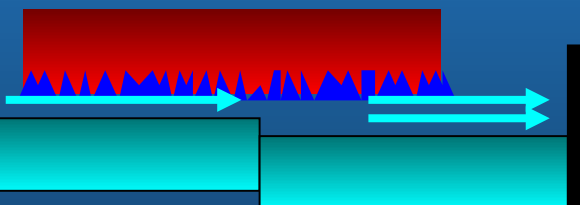
La première photo

Nesvizhevsky et al., J. Phys. **C40** (2005) 479



La photo d'aujourd'hui

Pour se débarrasser de l'état fondamentale il faut modifier légèrement notre installation :





GRAvitational Neutron Induced Transitions

Recherche des transitions résonnantes entre les niveaux quantiques

Objectifs

- Obtenir la durée de vie du neutron dans un état quantique de l'ordre d'une seconde
- Observer les transitions résonnantes induites par le gradient du champ magnétique